

Rauchsimulation

Vortrag im Rahmen der Studienarbeit „Rauchsimulation“

Von
Franz Peschel

Inhalt

I	Einführung
II	State of the Art
III	Fluid Simulation
IV	Volume Rendering
V	Hinderniserkennung Voxelisierung
VI	Beleuchtung
VII	Ergebnisse



Einführung

Motivation:

- Mit Fluid Simulation ...
 - ... faszinierend anzuschauende Naturphänomene:
 - Rauch, Dampf, Feuer, Wasser
 - Große Fülle an neuen Interaktionmöglichkeiten
 - Integration in eine Echtzeitanwendungen – was ist heute möglich?



Inhalt

I	Einführung
II	State of the Art
III	Fluid Simulation
IV	Volume Rendering
V	Hinderniserkennung Voxelisierung
VI	Beleuchtung
VII	Ergebnisse



State of the Art

2 Ansätze zu Fluid-Simulation mit Navier-Stokes-Gleichungen

- Rasterbasiertes Verfahren



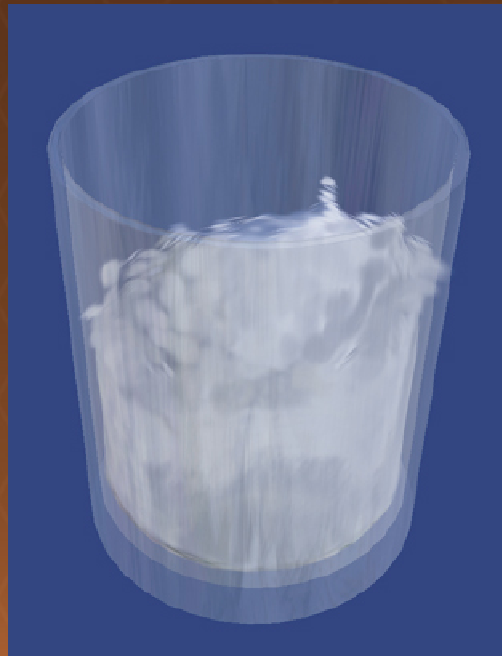
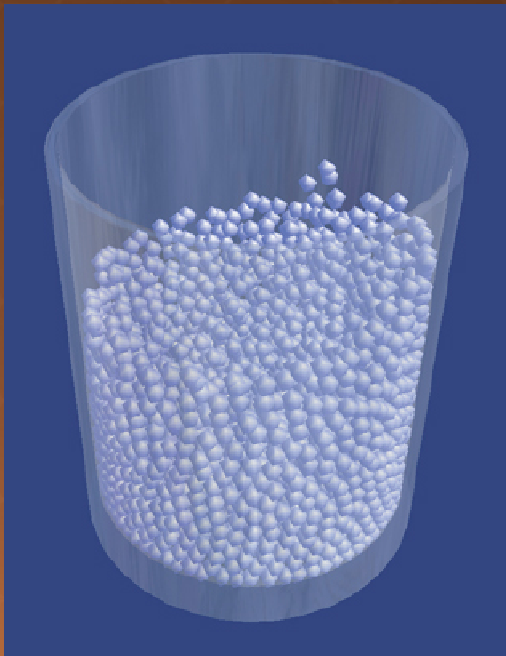
Hellgate London



S.T.A.L.K.E.R. Clear Sky

State of the Art

- Partikelbasiertes Verfahren
 - Smoothed Particle Hydrodynamics



Inhalt

- | | |
|-----|--------------------|
| I | Einführung |
| II | State of the Art |
| III | Fluid Simulation |
| IV | Volume Rendering |
| V | Hinderniserkennung |
| | Voxelisierung |
| VI | Beleuchtung |
| VII | Ergebnisse |



Fluid Simulation

- Lösen der Navier-Stokes Gleichungen rasterbasiert
 - Algorithmus von Stam 1999 und Fedkiw 2001
 - Stabil für beliebige Zeitschritte
 - Damit schnelle Berechnung möglich
 - Kann auf aktuellen GPUs implementiert werden
 - Siehe Harris, GPU Gems 2004

Navier-Stokes Gleichungen

- Beschreibt den Fluss eines inkompressiblen Fluids

$$\frac{\partial \mathbf{u}}{\partial t} = -(\mathbf{u} \cdot \nabla) \mathbf{u} - \frac{1}{\rho} \nabla p - \nu \nabla^2 \mathbf{u} + \mathbf{f}$$

↑ ↑ ↑ ↑
Advektion Druck-Gradient Diffusion Beschleunigung

$$\nabla \cdot \mathbf{u} = 0 \quad \leftarrow$$

Geschwindigkeit muss divergenzfrei sein

Divergenzfrei

- Was bedeutet divergenzfrei?
 - In jedem Fluidelement halten sich die eingehende Geschwindigkeit und die ausgehende Geschwindigkeit die Waage.
 - Ausnahmen: Geschwindigkeitsquellen oder Abflüsse
 - Es gilt die Masse / Impulserhaltung $\nabla \cdot \mathbf{u} = 0$



Algorithmus

- Stam 1999

- Hinzufügen von Kräften

$$\mathbf{w}_1 = \mathbf{u}(\mathbf{x}, t) + \mathbf{f}(\mathbf{x}, t)\Delta t$$

- Advektion

$$\mathbf{w}_2 = \mathbf{w}_1(\mathbf{x} - \mathbf{w}_1\Delta t)$$

- Diffusion

$$\left(\mathbf{I} - \nu\Delta t\nabla^2\right)\mathbf{w}_3 = \mathbf{w}_2$$

- Lösen der Druckgleichung

$$\nabla^2 p = \nabla \cdot \mathbf{w}_3$$

- Geschwindigkeitsfeld –
Gradient(Druckfeld)

$$\mathbf{u}(\mathbf{x}, t + \Delta t) = \mathbf{w}_3 - \nabla p$$

Algorithmus

- Stam 1999

- Hinzufügen von Kräften

$$\mathbf{w}_1 = \mathbf{u}(\mathbf{x}, t) + \mathbf{f}(\mathbf{x}, t)\Delta t$$

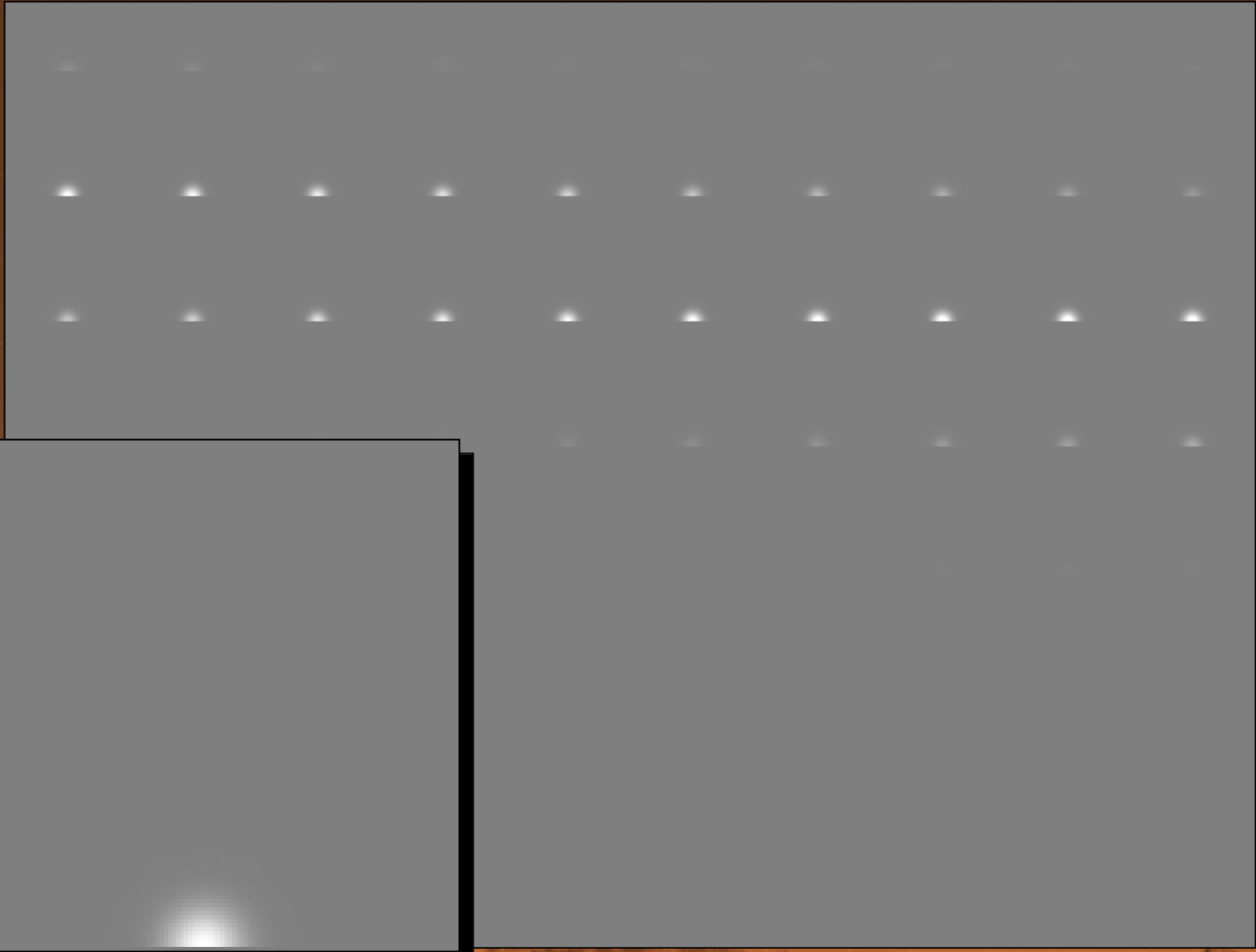
Beschleunigung

- Hinzufügen von Kräften

$$\mathbf{w}_1 = \mathbf{u}(\mathbf{x}, t) + \mathbf{f}(\mathbf{x}, t)\Delta t$$

- Geschwindigkeitsfeld + Kraftquelle * Δt
- Gauss-geglätteter Splat
 - Farbe bestimmt Richtung und Stärke der Kraft

Beschleunigung

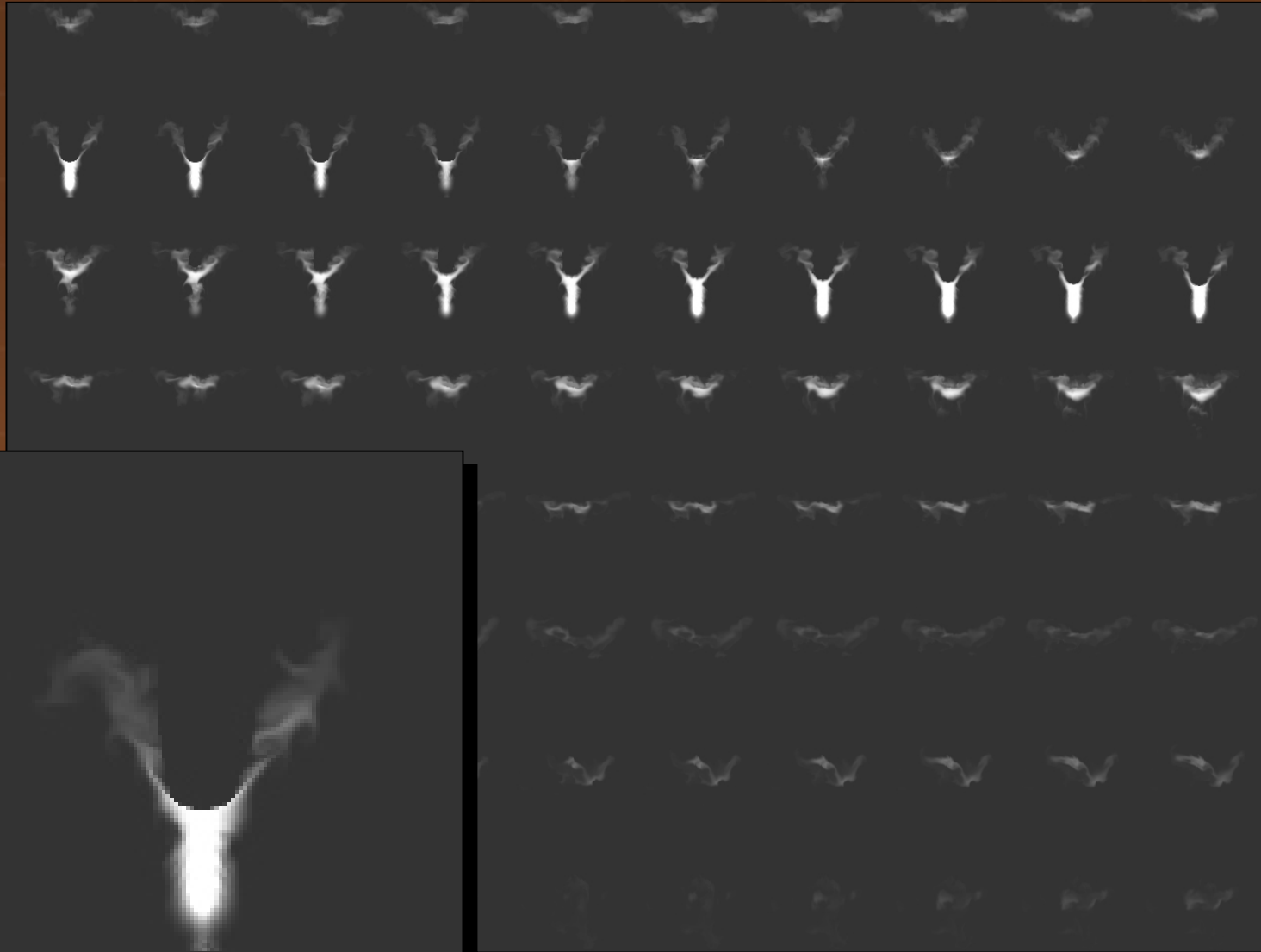


Simulation Flüssigkeiten und Gase

- Einfachste Anwendung einer Fluidsimulation
- Dichtefeld mit skalaren Werten d :
 - Wassertropfen im Dampf
 - Rußpartikel im Rauch
 - Staub
- Transport der Partikel
 - Advektionsoperator auf Dichtefeld d anwenden

$$\frac{\partial \vec{u}}{\partial t} = -(\vec{u} \cdot \nabla) \vec{d}$$

Simulation Flüssigkeiten und Gase



Temperatur Simulation

- Konvektionsströme simulieren
 - Auftrieb berechnen
 - Neues Skalarfeld T
 - Auftriebsoperator F_{buo} :
 - Umgebungstemperatur $T_u <$ lokale Temperatur T:
 - Geschwindigkeitsfeld + T
 - $d =$ Dichte

$$\vec{F}_{buo} = \left(-\mu d + \sigma (T - T_u) \right) \vec{k}$$

Temperatur Simulation

- Wärmequelle treibt Partikel nach oben. (Grün)
- Die Partikel kühlen ab und fallen durch die Schwerkraft runter. (Lila)



Dichtequelle

Dichte d

Temperatur T

Geschwindigkeit u

Wirbelstärkenerhaltung

- Detaillierte Verwirbelungen verschwinden durch numerische Verluste der Simulation
 - Wirbelstärkenerhaltung fügt sie wieder dazu
- 3 Schritte

1) Berechne Wirbelstärkefeld aus Geschwindigkeitsfeld

$$\vec{\Phi} = \nabla \times \vec{u}$$

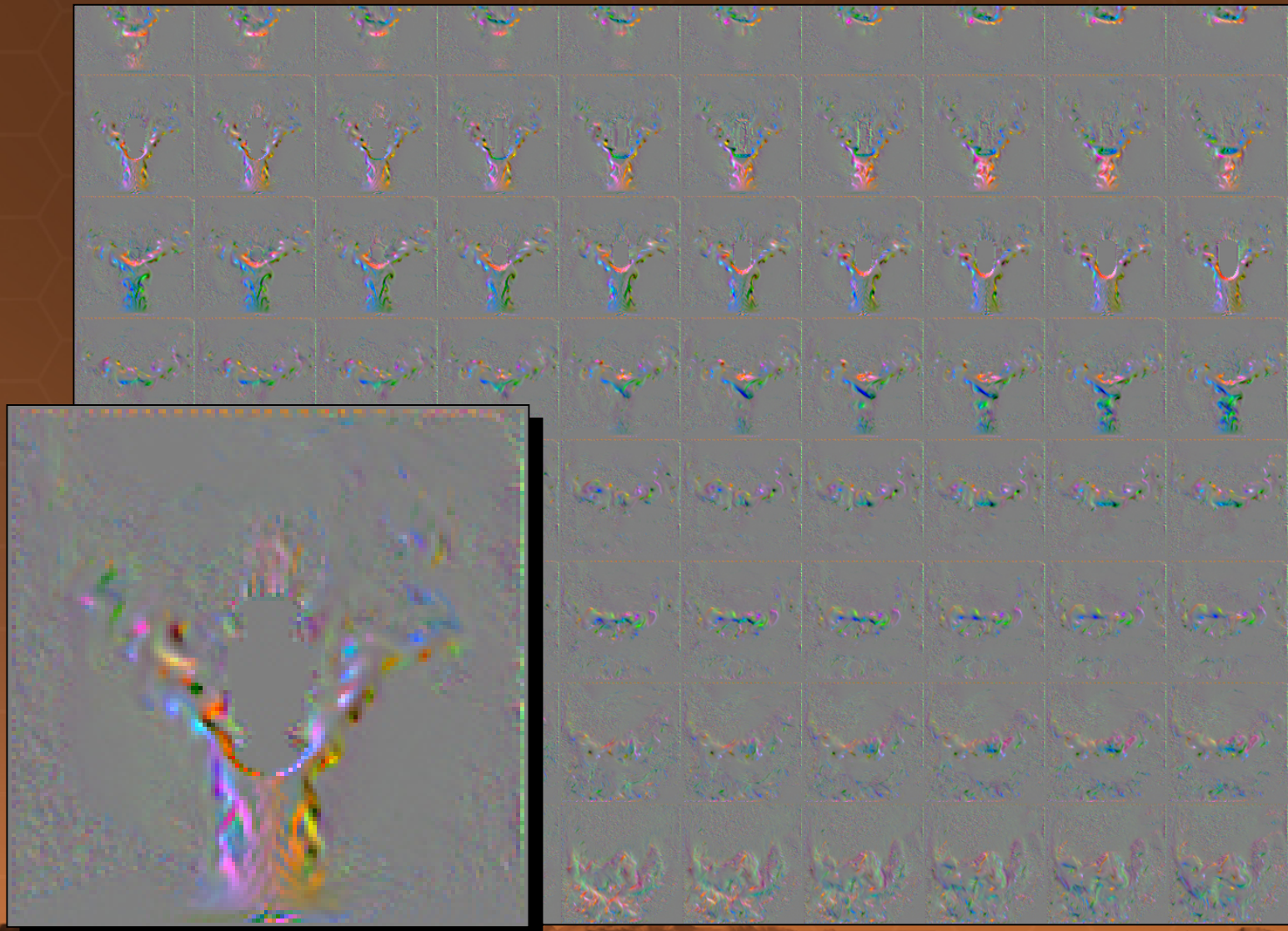
2) Berechne normalisierte Wirbelstärke-Positionsvektoren

$$\vec{X} = \frac{\vec{\omega}}{|\vec{\omega}|}, \vec{\omega} = \nabla |\vec{\Phi}|$$

3) Bestimme Richtung und Skalierung der Wirbelstärkekraft F_{vc}

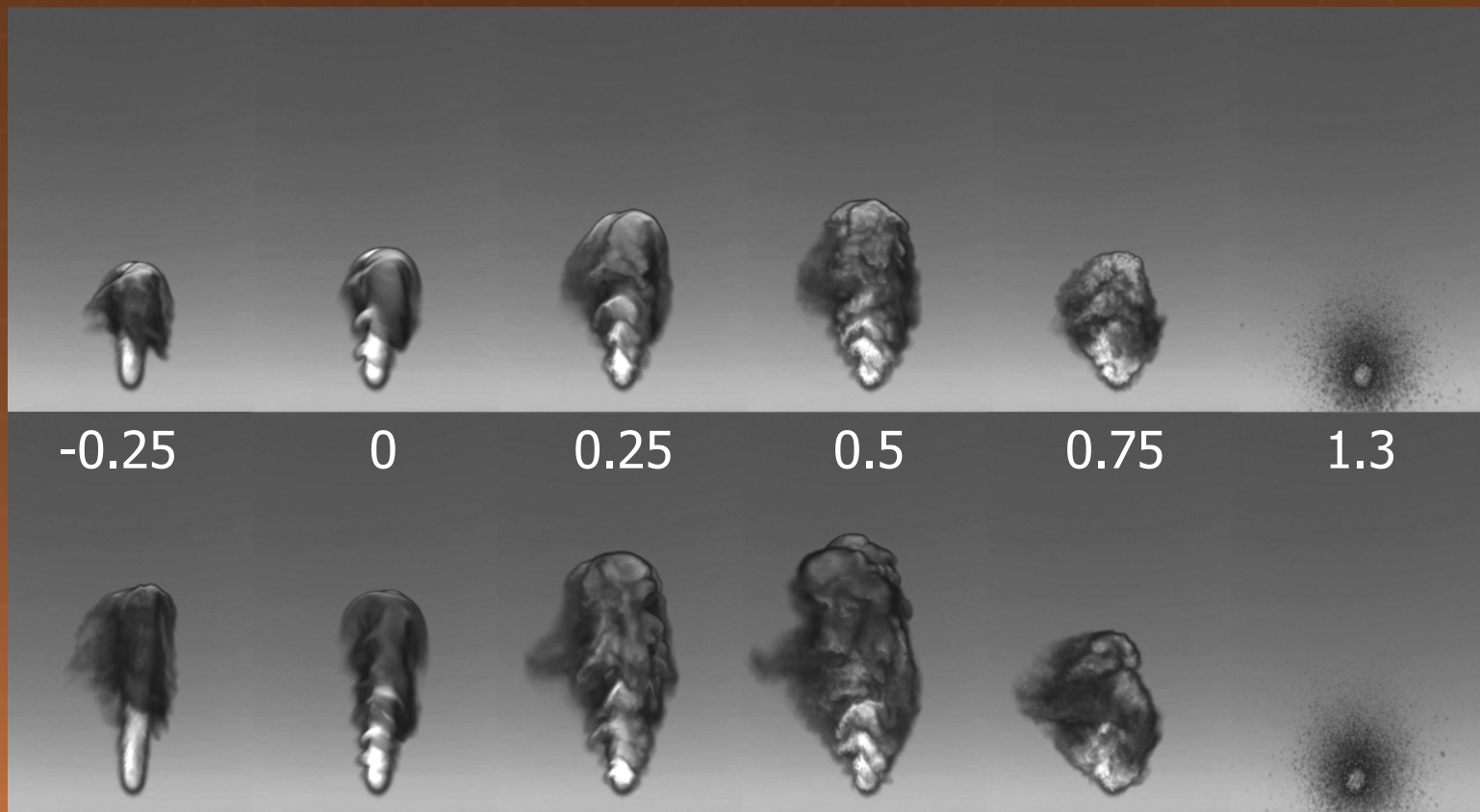
$$\vec{F}_{vc} = \epsilon \left(\vec{X} \times \vec{\Phi} \right)$$

Wirbelstärkenerhaltung



Wirbelstärkenerhaltung

- Geschwindigkeitsfeld + Wirbelstärkenkraft (verschiedene ε)



Algorithmus

- Stam 2000

- Hinzufügen von Kräften

$$\mathbf{w}_1 = \mathbf{u}(\mathbf{x}, t) + \mathbf{f}(\mathbf{x}, t)\Delta t$$

- Advektion

$$\mathbf{w}_2 = \mathbf{w}_1(\mathbf{x} - \mathbf{w}_1\Delta t)$$

Advektion

- Advektion: Elemente im Fluid werden entlang seines Geschwindigkeitsfeldes transportiert

$$\mathbf{w}_2(\mathbf{x}) = \mathbf{w}_1(\mathbf{x} - \mathbf{w}_1 \Delta t)$$

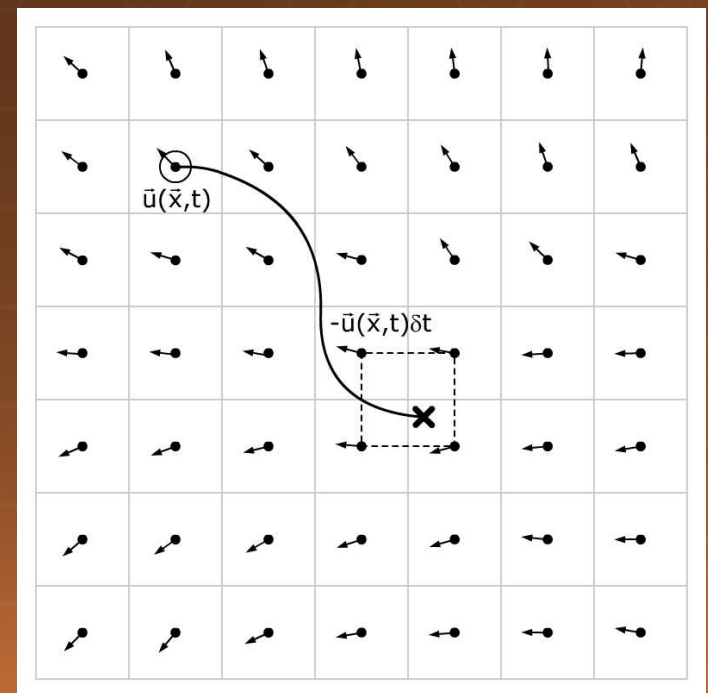
- Geschwindigkeit in Position \mathbf{x} zur

Zeit $t + \Delta t$?

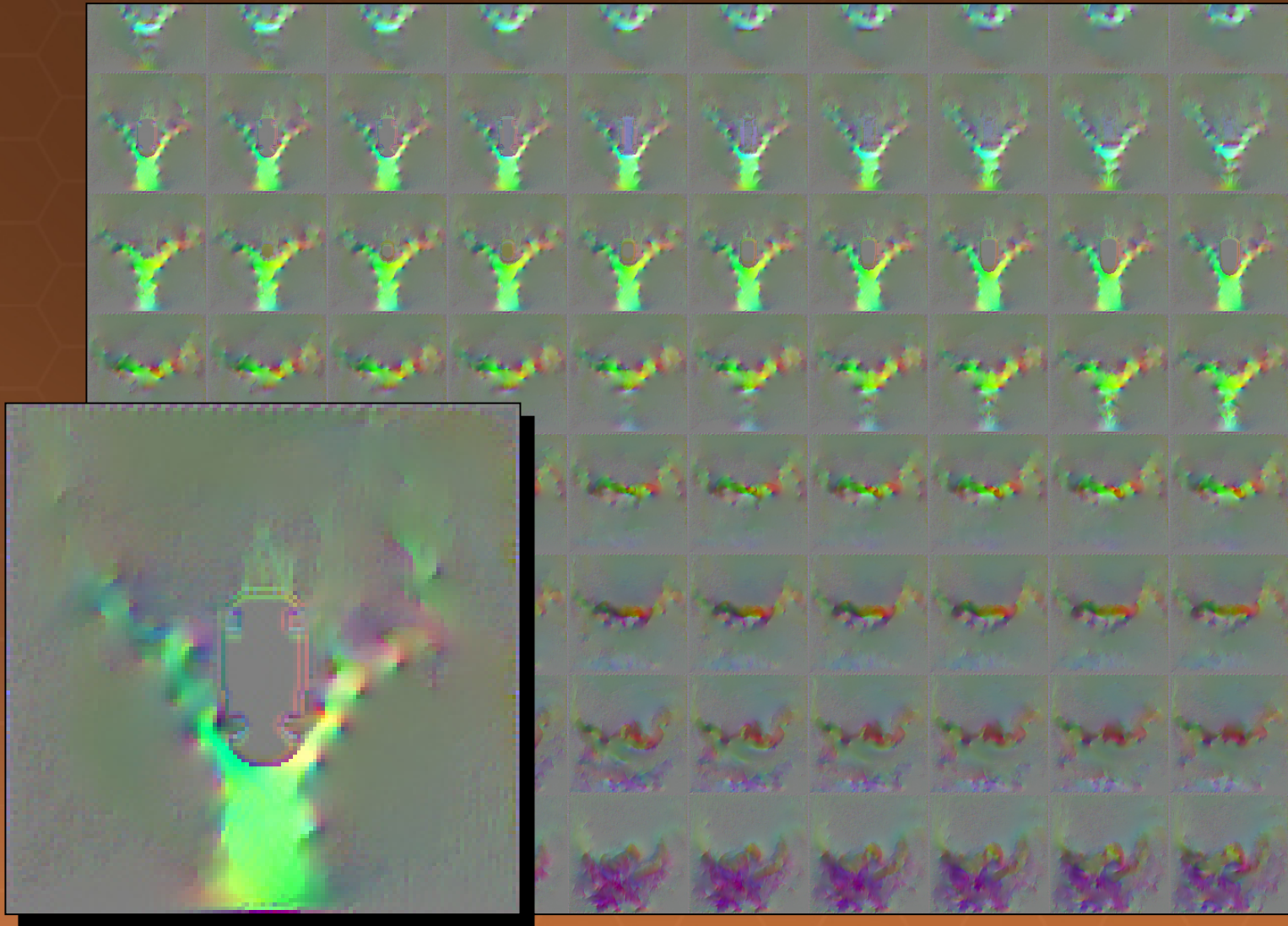
- Folge Geschwindigkeitsfeld zurück zum Zeitpunkt

$\mathbf{x} : (\mathbf{x} - \mathbf{w}_1 \Delta t)$

- Einfaches Fragment-Programm



Advektion



Algorithmus

- Stam 2000

- Hinzufügen von Kräften
- Advektion
- Diffusion

$$\mathbf{w}_1 = \mathbf{u}(\mathbf{x}, t) + \mathbf{f}(\mathbf{x}, t)\Delta t$$

$$\mathbf{w}_2 = \mathbf{w}_1(\mathbf{x} - \mathbf{w}_1\Delta t)$$

$$\left(\mathbf{I} - \nu\Delta t\nabla^2\right)\mathbf{w}_3 = \mathbf{w}_2$$

Viskose Diffusion

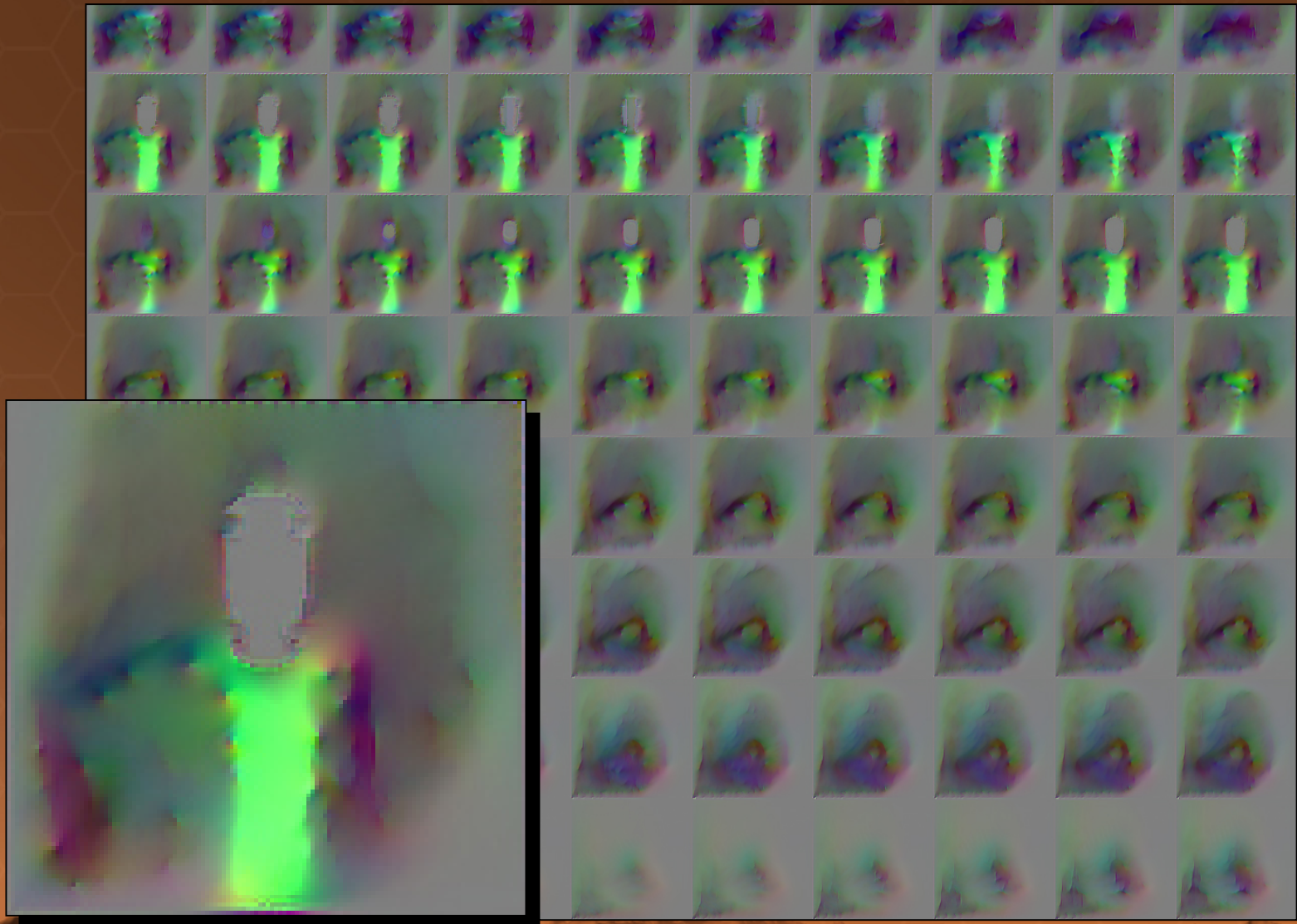
$$\left(\mathbf{I} - \nu \Delta t \nabla^2 \right) \mathbf{w}_3 = \mathbf{w}_2$$

- Ein viskoses Fluid fließt zäh wie Sirup
 - Verursacht durch Diffusion der Geschwindigkeit

- Implizite diskrete Form von $\frac{\partial \mathbf{w}_2}{\partial t} = \nu \nabla^2 \mathbf{w}_2$
 - Explizite Form instabil

- Lösung auch im Druck-Berechnungsschritt auf nächster Folie
- Optionaler Berechnungsschritt

Viskose Diffusion



Algorithmus

- Stam 2000

- Hinzufügen von Kräften

$$\mathbf{w}_1 = \mathbf{u}(\mathbf{x}, t) + \mathbf{f}(\mathbf{x}, t)\Delta t$$

- Advektion

$$\mathbf{w}_2 = \mathbf{w}_1(\mathbf{x} - \mathbf{w}_1\Delta t)$$

- Diffusion

$$\left(\mathbf{I} - \nu\Delta t\nabla^2\right)\mathbf{w}_3 = \mathbf{w}_2$$

- Lösen der Druckgleichung

$$\nabla^2 p = \nabla \cdot \mathbf{w}_3$$

Poisson-Druck Lösung

$$\nabla^2 p = \nabla \cdot \mathbf{w}_3$$

- Poisson Gleichung
 - Diskretisierung und Lösen mit Hilfe eines iterativen Lösungsverfahrens (Relaxation)
 - Jacobi, Gauss-Seidel, Multigrid...
 - Jacobi ist leicht auf der GPU implementierbar
 - SA nutzt 40 Jacobi Iterationen

Poisson-Druck Lösung

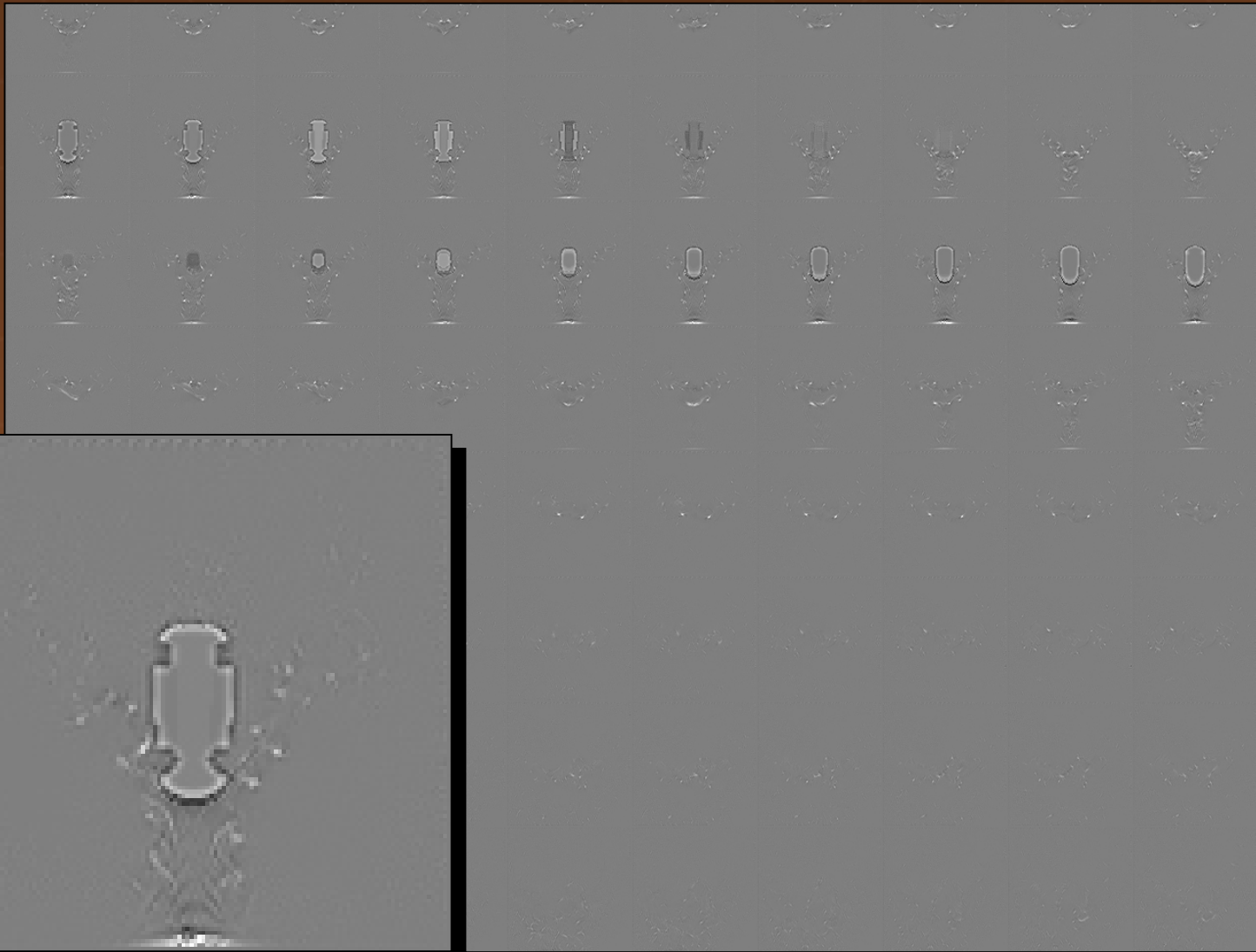
- 2D Jacobi Iteration: Wiederholte Auswertung der Gleichung

$$p_{i,j}^{n+1} = \frac{1}{4} \left(p_{i+1,j}^n + p_{i-1,j}^n + p_{i,j+1}^n + p_{i,j-1}^n - \delta^2 (\nabla \cdot \mathbf{w}_3) \right),$$

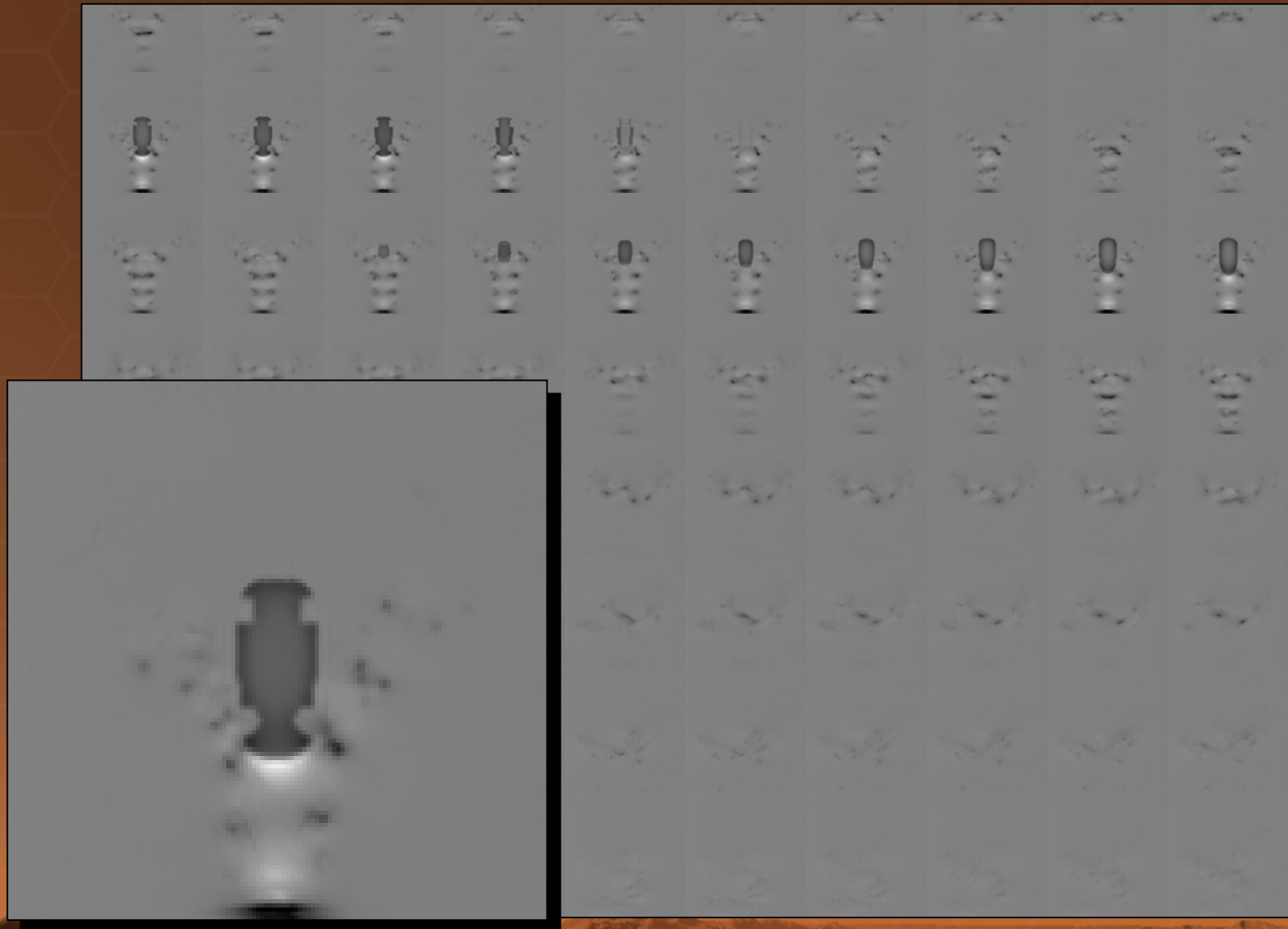
$$\nabla \cdot \mathbf{w}_3 = \frac{1}{2\delta} (u_3_{i+1,j} - u_3_{i-1,j} + v_3_{i,j+1} - v_3_{i,j-1})$$

δ = Rasterabstand
 u, v = Komponenten von \mathbf{w}_3
 i, j = Rasterkoordinaten
 n = Lösungs-Iteration

Divergenzfeld



Druckfeld



Algorithmus

- Stam 2000

- Hinzufügen von Kräften

$$\mathbf{w}_1 = \mathbf{u}(\mathbf{x}, t) + \mathbf{f}(\mathbf{x}, t)\Delta t$$

- Advektion

$$\mathbf{w}_2 = \mathbf{w}_1(\mathbf{x} - \mathbf{w}_1\Delta t)$$

- Diffusion

$$\left(\mathbf{I} - \nu\Delta t\nabla^2\right)\mathbf{w}_3 = \mathbf{w}_2$$

- Lösen der Druckgleichung

$$\nabla^2 p = \nabla \cdot \mathbf{w}_3$$

- Ziehe den Gradienten
des Druckfeldes vom
Geschwindigkeitsfeld ab

$$\mathbf{u}(\mathbf{x}, t + \Delta t) = \mathbf{w}_3 - \nabla p$$

Druck-Gradient abziehen

$$\mathbf{u}(\mathbf{x}, t + \Delta t) = \mathbf{w}_3 - \nabla p$$

- Letzter Berechnungsschritt eines Zeitschritts
 - \mathbf{u} ist jetzt ein divergenzfreies Geschwindigkeitsfeld

$$u_{i,j} = u3_{i,j} - \frac{1}{2} \delta (p_{i+1,j} - p_{i-1,j})$$

$$v_{i,j} = v3_{i,j} - \frac{1}{2} \delta (p_{i,j+1} - p_{i,j-1})$$

δ = Rasterabstand
 i, j = Rasterkoordinaten
 u, v = Komponenten von \mathbf{u}
 $u3, v3$ = Komponenten von \mathbf{w}_3
 p = Druck

Algorithmus

Advektion

Beschleunigung

Temperatur

Wirbelstärkenerhaltung

Hinderniss

Diffusion

Divergenz

jacobi

jacobi

jacobi

jacobi

•
•
•

jacobi

u- gradient(p)

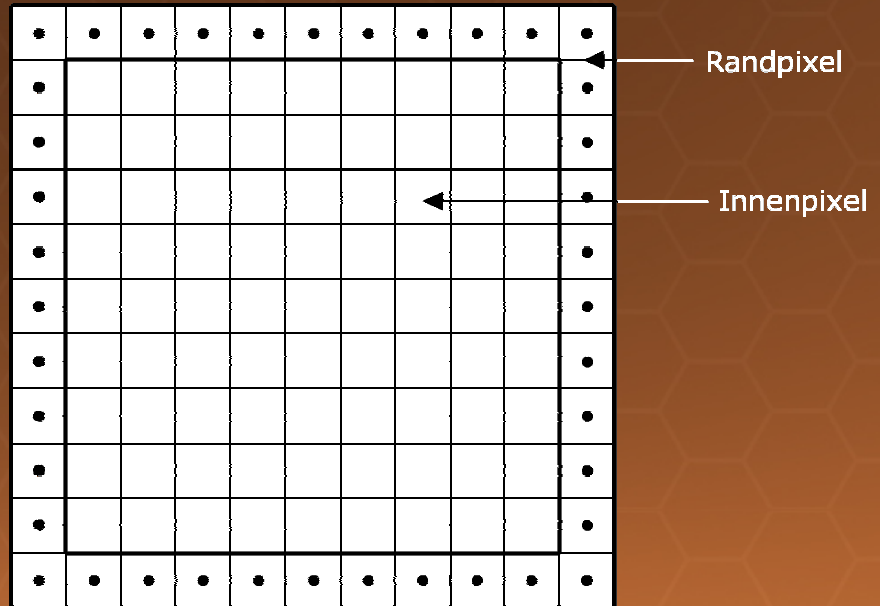


Randbedingungen

- Druck: Neumann Randbedingung

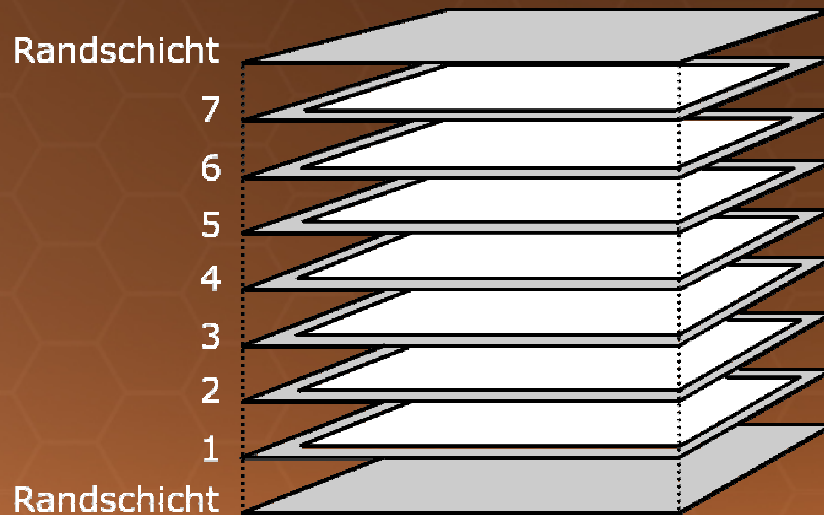
$$\frac{\partial p}{\partial n} = 0$$

- Wird in jedem Schritt der Iteration neu gesetzt
- $P(\text{Rand}) = p(\text{nächster Nachbar, der kein Randvoxel ist})$

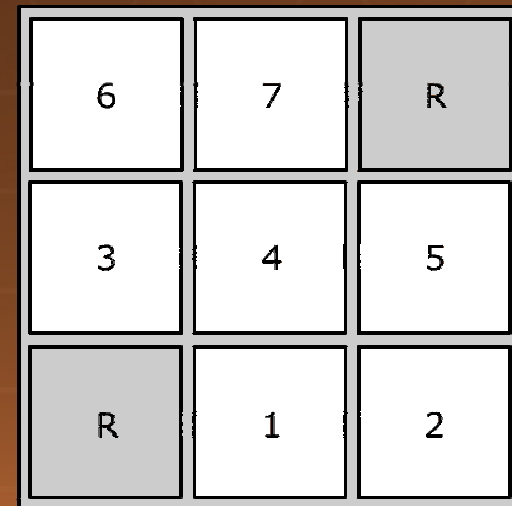


Flat 3D Textures

- Vorteile
 - Ein Textur-Update pro Operation
 - Bessere Nutzung der Parallelität der GPU -> schnell
 - Gut zu debuggen, Simulationsvorschau
 - Abwärtskompatibel



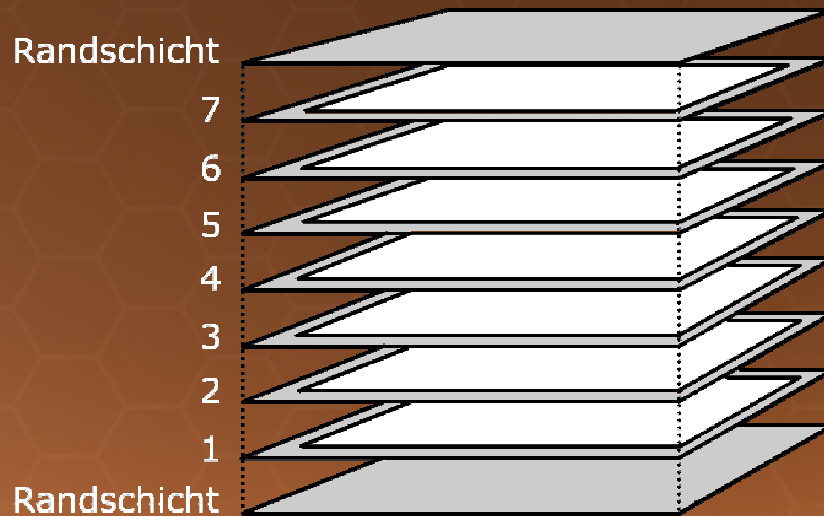
3D-Textur



Flat 3D-Textur

Flat 3D Textures

- Nachteil
 - Komplexe Datenstruktur
 - Textur-Offsets müssen berechnet werden



3D-Textur

6	7	R
3	4	5
R	1	2

Flat 3D-Textur

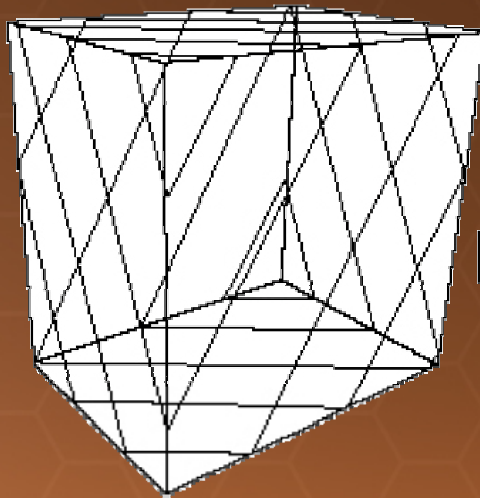
Inhalt

- | | |
|-----|-------------------------------------|
| I | Einführung |
| II | State of the Art |
| III | Fluid Simulation |
| IV | Volume Rendering |
| V | Hinderniserkennung
Voxelisierung |
| VI | Beleuchtung |
| VII | Ergebnisse |

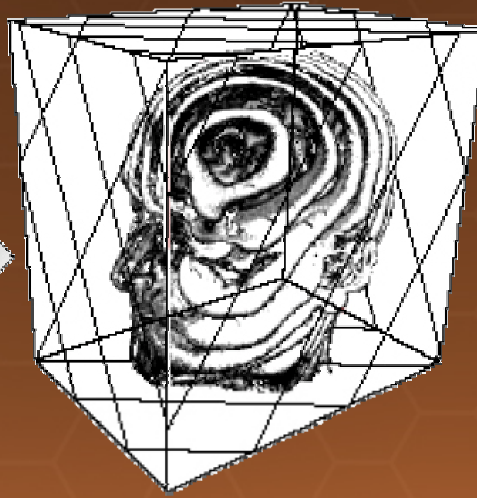


Volumen Rendering

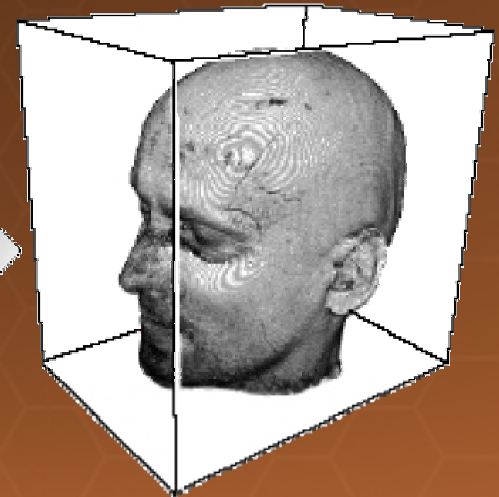
- View-Aligned Volume Slicing, in SA implementiert
 - Vorteil
 - kaum Artefakte, schnell



Polygon Slices



3D Textur



Final Image

Inhalt

- I Einführung
- II State of the Art
- III Fluid Simulation
- IV Volume Rendering
- V Hinderniserkennung
- Voxelisierung
- VI Beleuchtung
- VII Ergebnisse



Hindernis-Erkennung

- Hindernisse verändern Flussverhalten des Fluids
 - Partikeldichte im Hindernisobjekt = Null
 - Geschwindigkeit entspricht der Geschwindigkeit des Objekts



Hindernis-Erkennung

- „Free slip“-Randbedingung verhindert eindringen des Fluids in das Objekt
 - Aktueller Geschwindigkeitswert Randvoxel
(Geschwindigkeit Objekt + Normale)
=
Geschwindigkeit des Nachbarvoxels im Fluid
- Hinzufügen zum Geschwindigkeitsfeld
- Voxelisierung des Objekts notwendig



Hindernis-Erkennung



Inhalt

- | | |
|-----|--------------------|
| I | Einführung |
| II | State of the Art |
| III | Fluid Simulation |
| IV | Volume Rendering |
| V | Hinderniserkennung |
| | Voxelisierung |
| VI | Beleuchtung |
| VII | Ergebnisse |

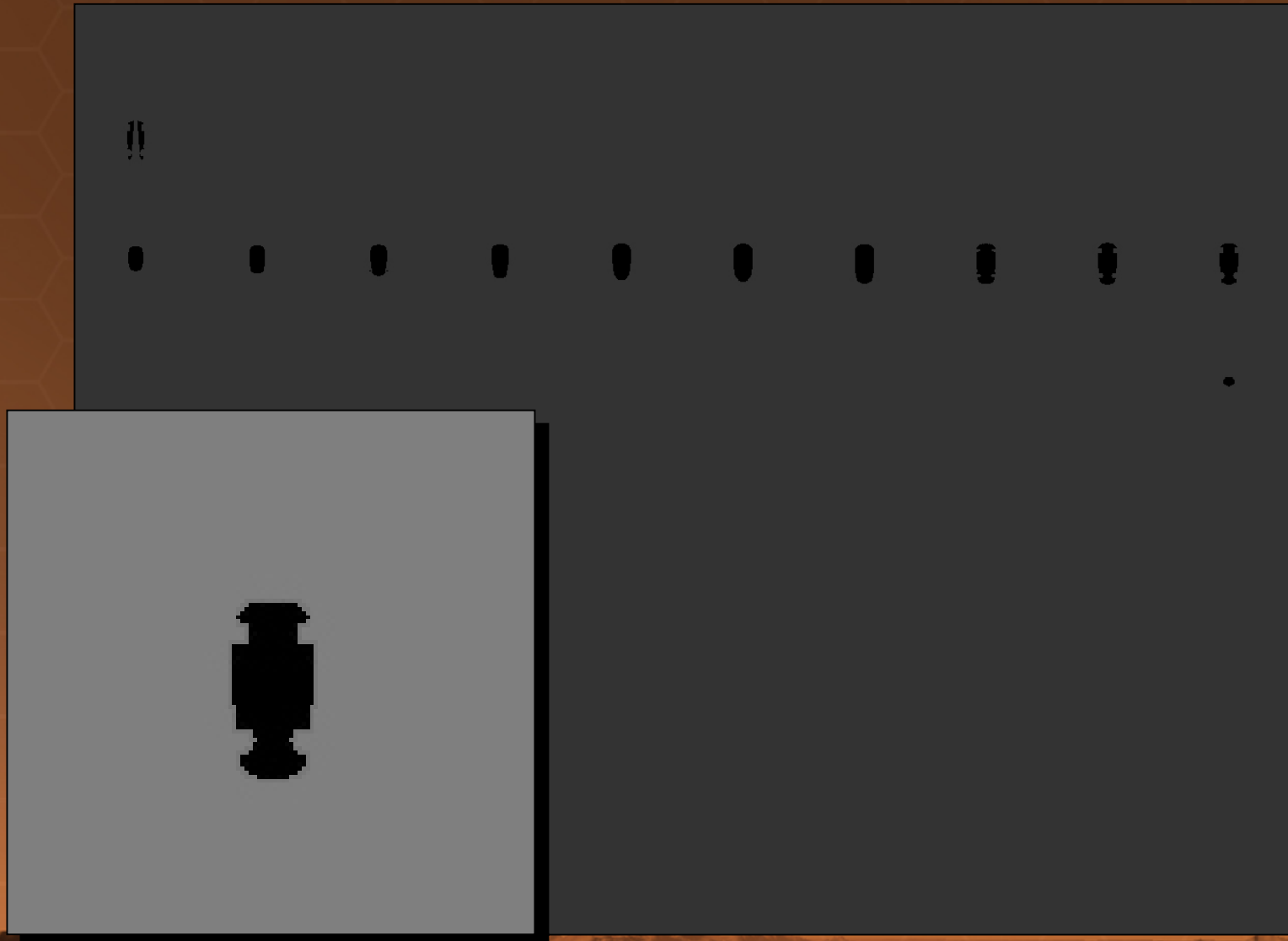


Voxelisierung

- 3D-Flat Textur: speichert Innenvoxel des Objekts
 - Render Objekt in Schleife über alle Schichten des Fluidvolumens mit Hilfe einer orthografischen Projektion
 - Far-clipping plane auf unendlich
 - Near-clipping plane Tiefenwert der aktuellen Schicht
 - Pro Schicht wird Objekt zweimal gerendert
 1. Mit backface culling: schreibe -1 in Alpha-Kanal
 2. Mit frontface culling: schreibe 1 in Alpha Kanal
 - Ergebnis: Alpha Kanal = 1 : Voxel innerhalb des Objekts
Alpha Kanal = 0 : Voxel ausserhalb des Objekts



Voxelisierung

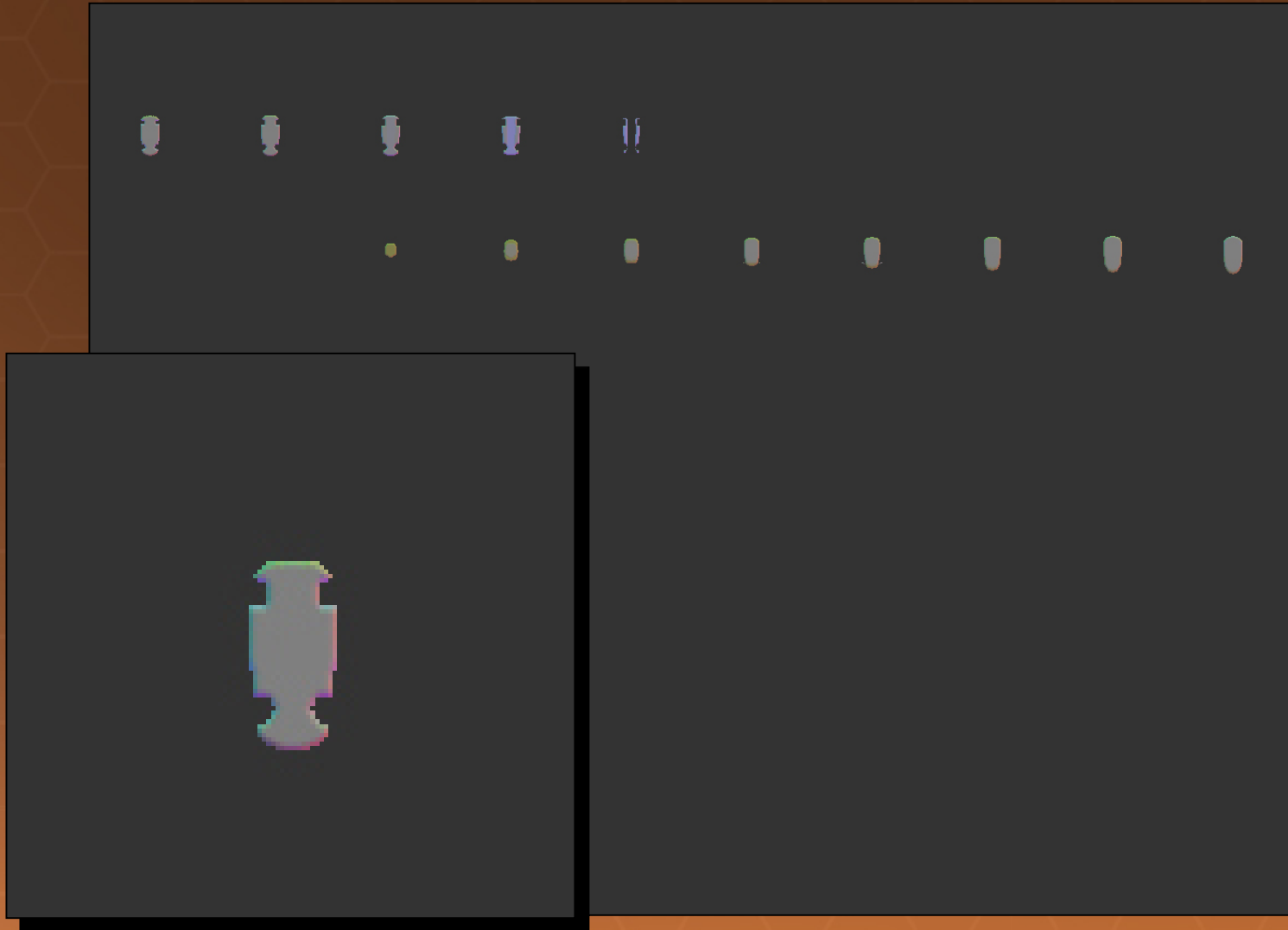


Voxelisierung

- Gradient des Alpha-Kanals der Voxel-Textur liefert Normalen
 - Geschwindigkeit des Objekts in RGB-Werten
 - Geschwindigkeit = $\Delta (\text{VertexPosition}) / \Delta t$



Voxelisierung



Inhalt

- I Einführung
- II State of the Art
- III Fluid Simulation
- IV Volume Rendering
- V Hinderniserkennung
Voxelisierung
- VI Beleuchtung
- VII Ergebnisse



Beleuchtung

- Dringt Licht in eine Wolke ein, wird es vielfach gestreut (multiple scattering).
- Die Wolke scheint ein "Eigenleuchten" zu besitzen
- Schatten an der sonnenabgewandten Seite ist viel schwächer als bei soliden Objekten
- Problem: Multiple Scattering sehr teuer
 - Lösung: Annähern mit Oriented Light Volume und Inverse Shear Warp - Methode

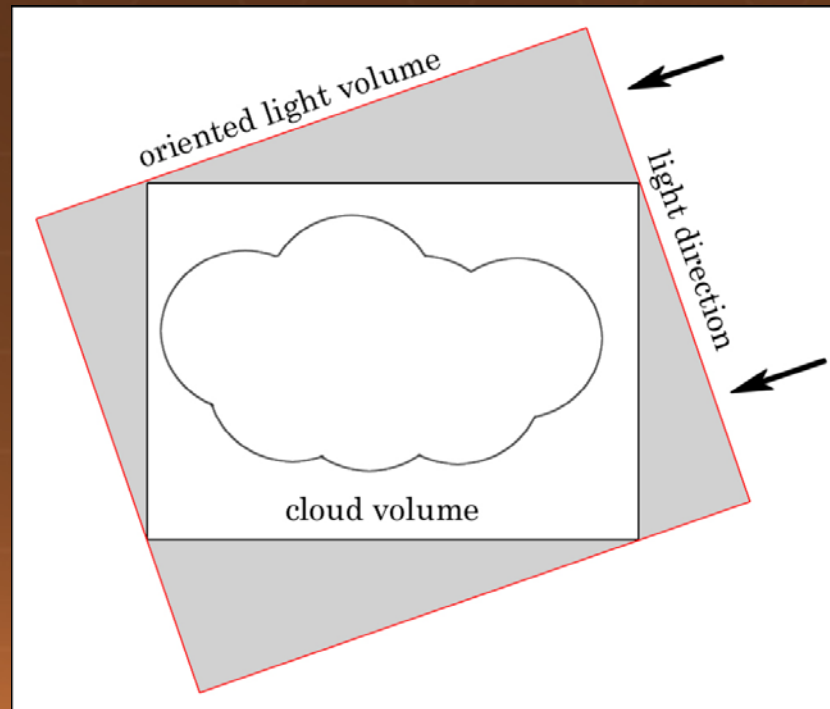


Beleuchtung



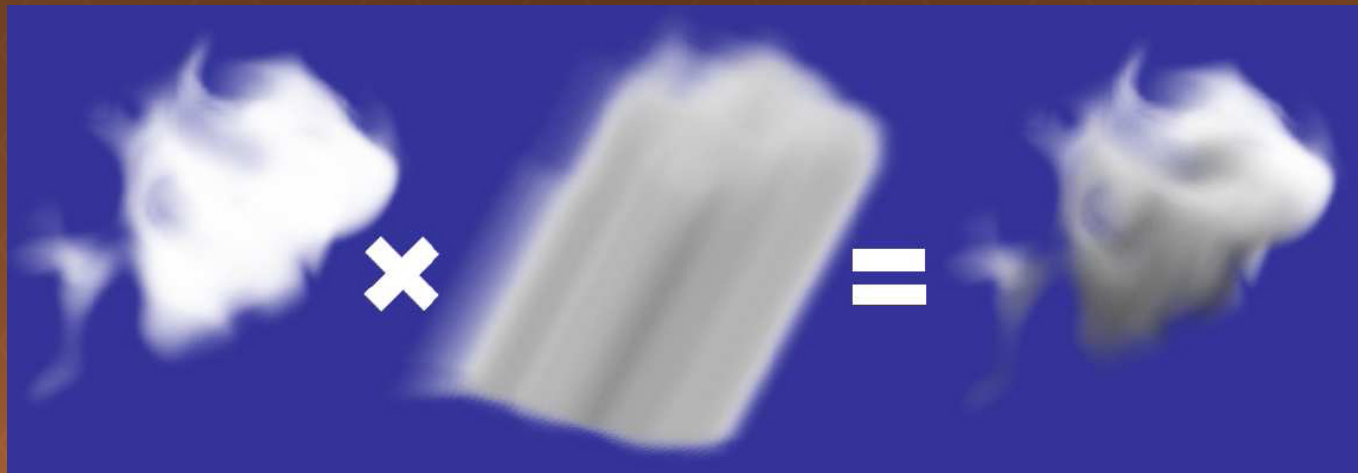
Beleuchtung

- Erstelle neue 3D-Flat Textur "Oriented Light Volume"
- Speichert die Dämpfung des Lichts durch das Dichtevolumen



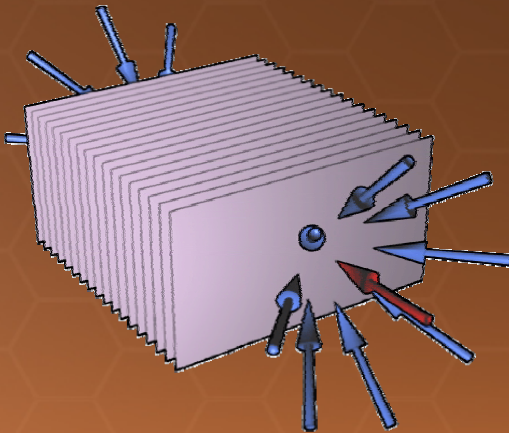
Beleuchtung

- Beleuchtete Dichtevolumen:
 - Multipliziere das Dichtevolumen mit dem "Oriented Light Volume"

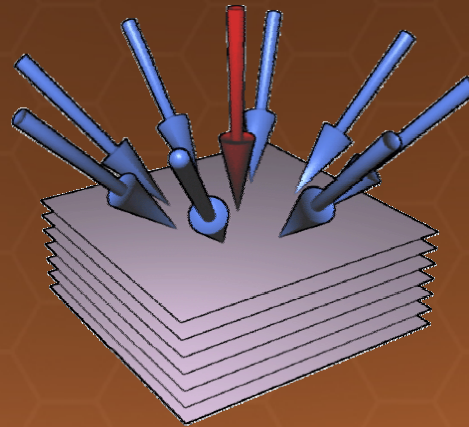


Beleuchtung

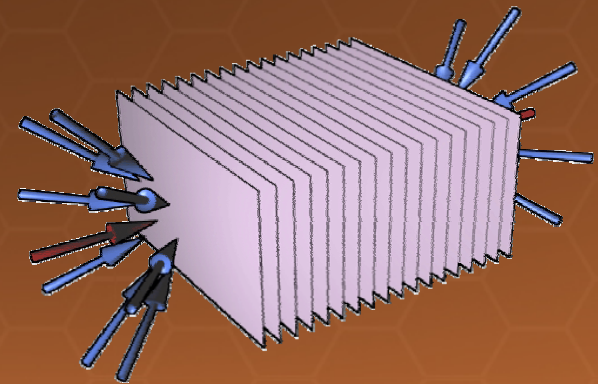
- Wo ist die Lichtquelle?
 - 3 Fälle:
 - max 45° um X-Achse
 - max 45° um Y-Achse
 - max 45° um Z-Achse



45° um X-Achse



45° um Y-Achse



45° um Z-Achse

Beleuchtung

- Position Kamera auf entsprechende Achse
- Blick auf Fluidzentrum
- Rendern die Schichten des Dichtevolumens
 - Starte mit der Schicht, die am nächsten zur Lichtquelle ist.
 - Schreibe Ergebnis in ping-pong-Schreibtextur
 - Tausche ping-pong Schreib- und Lesetextur
 - Render die nächste Schicht plus der ping-pong Lesetextur
 - Attenuationsoperator: Berechne Abschwächung des Lichts (Attenuation) in einem Fragment Shader



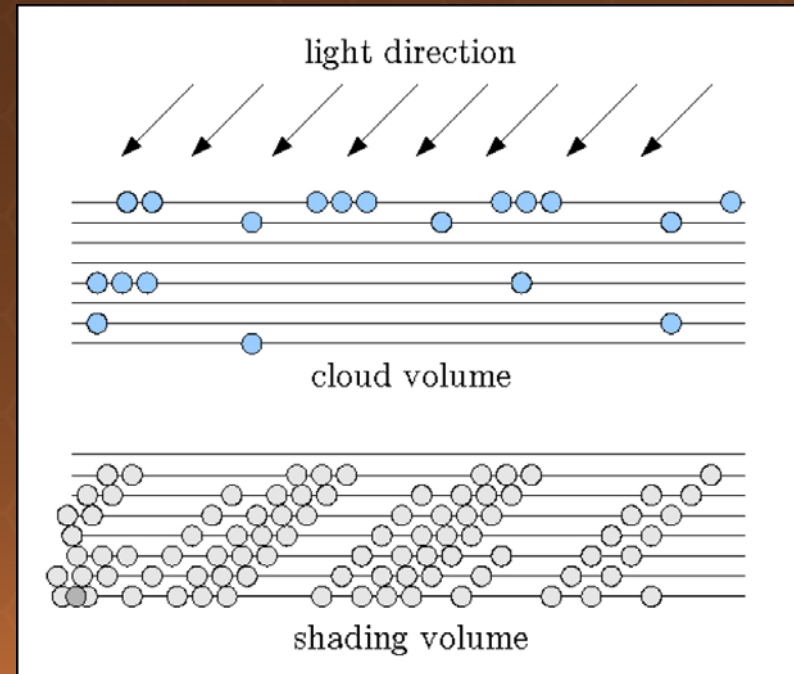
Beleuchtung

- Abschwächung des Lichts:
 - D_t = aktueller Dichtevolumen Alpha-Wert
 - μ = Abschwächungsrate (Attenuation Ratio)
 - D_{t-1} = Ergebnis des vorigen Rechenschritts
 - Abschwächung (Attenuation) = $1 - (1 - \mu) * D_t$
 - $D_{t+1} = \text{Attenuation} * D_{t-1}$

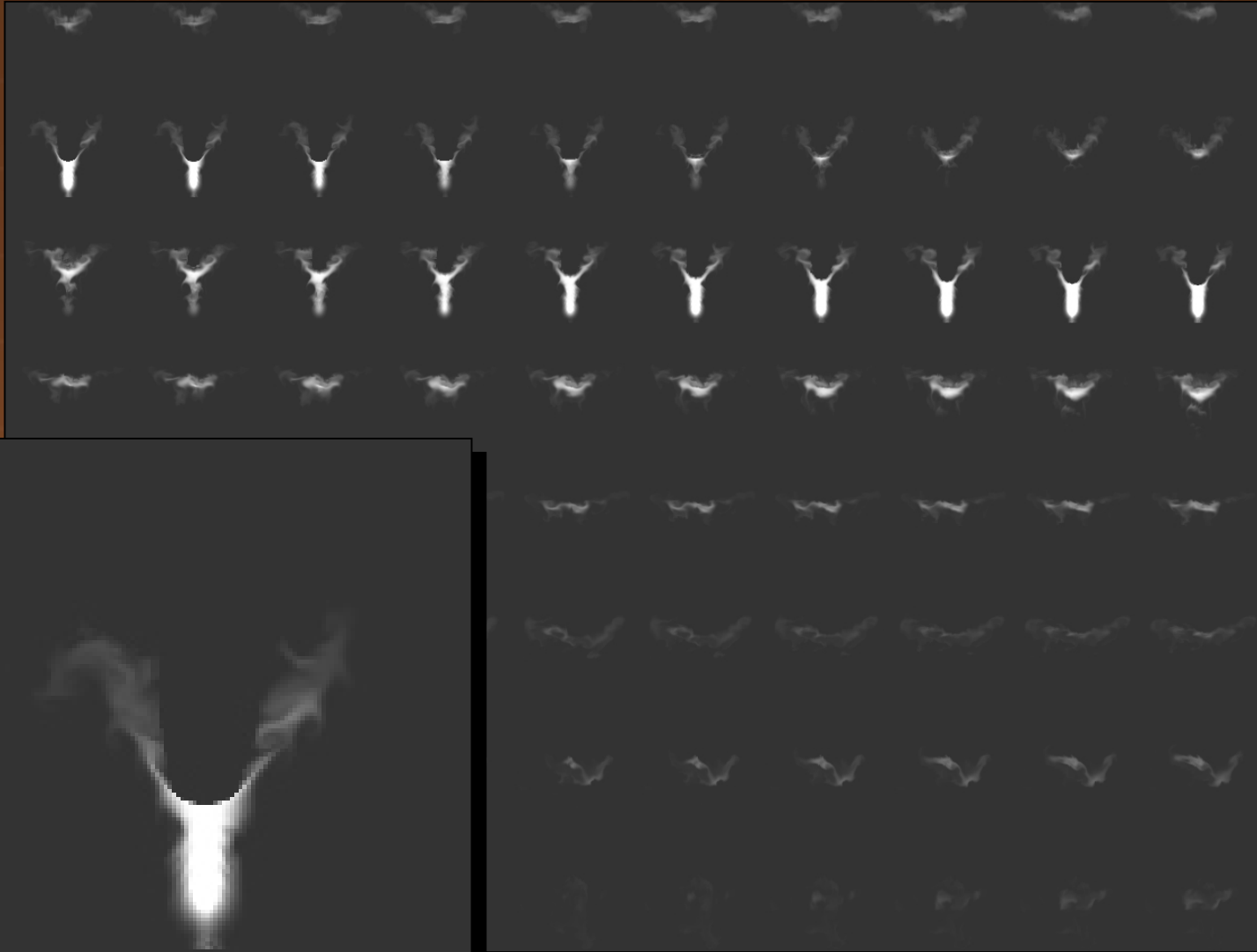


Beleuchtung

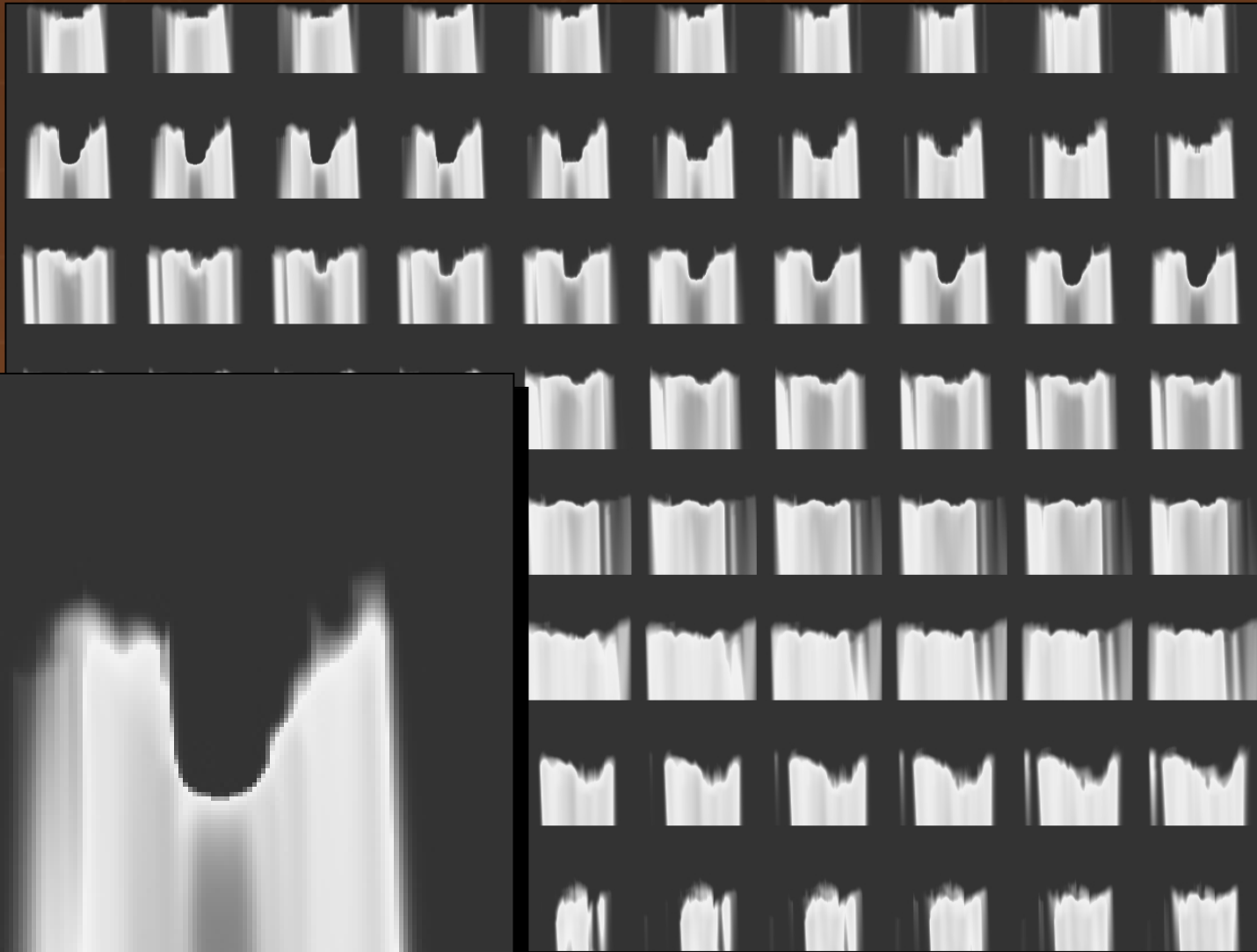
- Beliebige Lichtquellen-Position:
- Fall Y-Achse:
 - Lichtquellen-Position (x,y,z) um 45° zu $(0,1,0)$
 - Verschiebe Schichten in X-Richtung um x/y
 - Verschiebe Schichten in Z-Richtung um z/y
 - X-Achse und Z-Achse analog



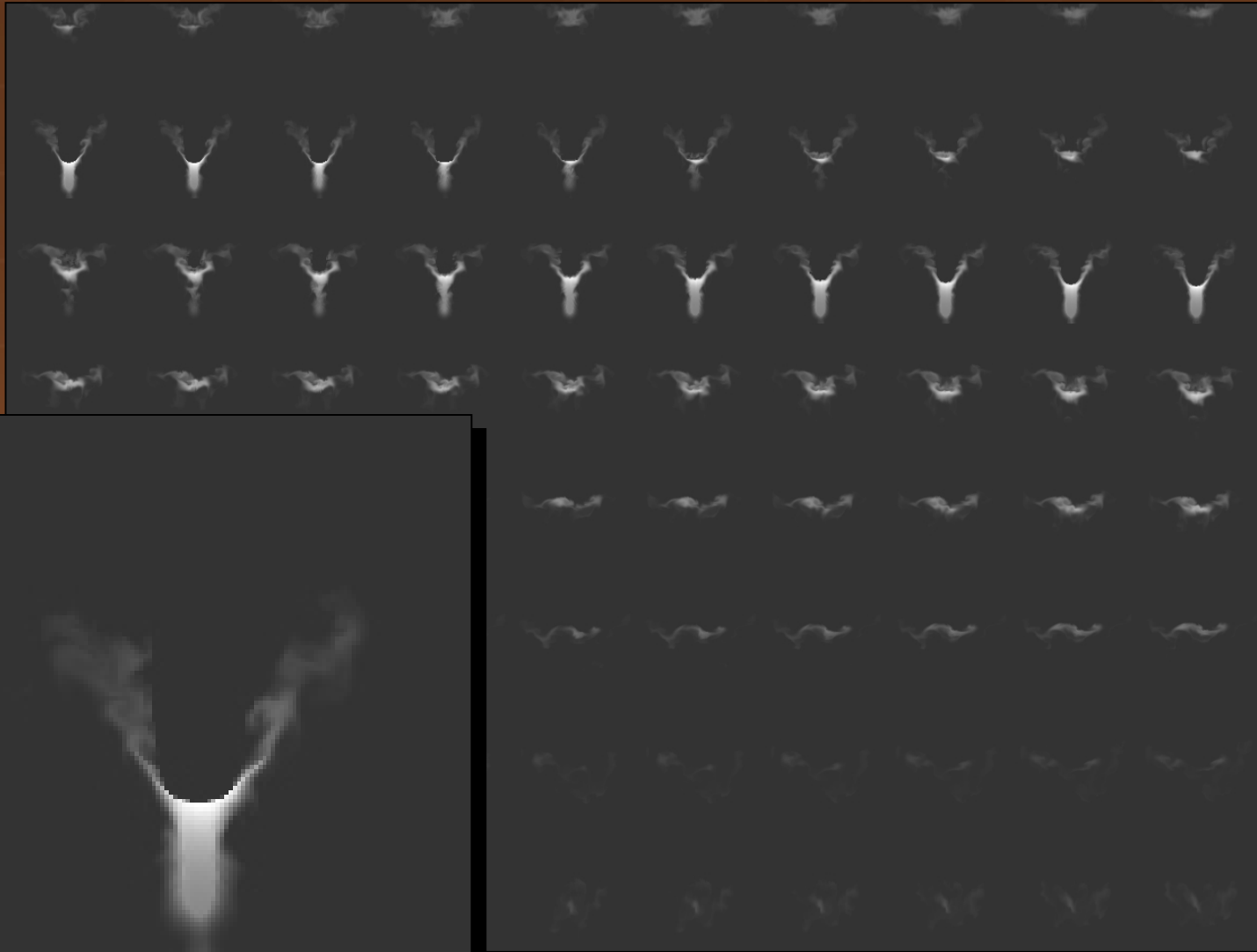
Beleuchtung



Beleuchtung



Beleuchtung

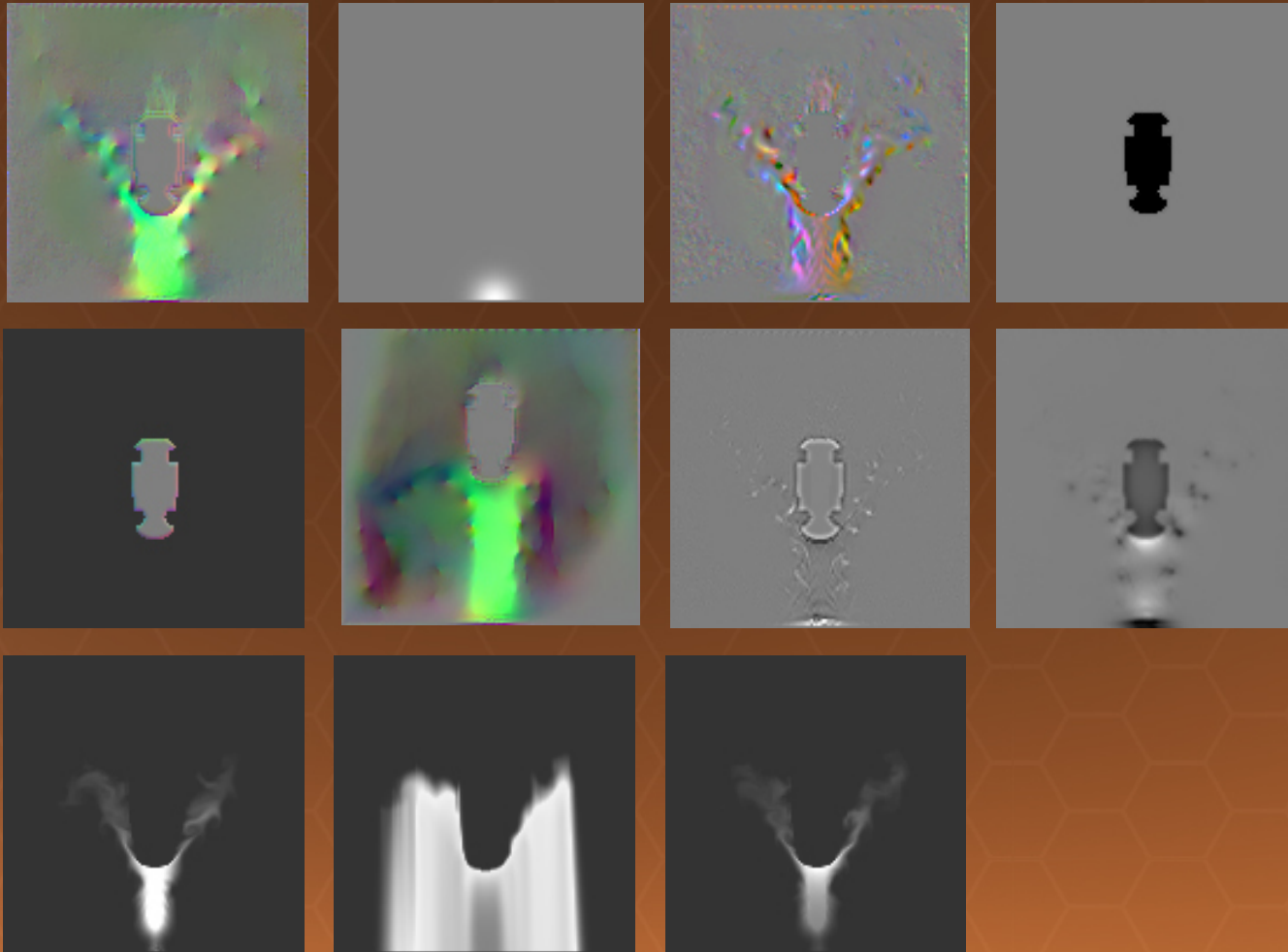


Inhalt

- I Einführung
- II State of the Art
- III Fluid Simulation
- IV Volume Rendering
- V Hinderniserkennung
Voxelisierung
- VI Beleuchtung
- VII Ergebnisse



Simulation Überblick

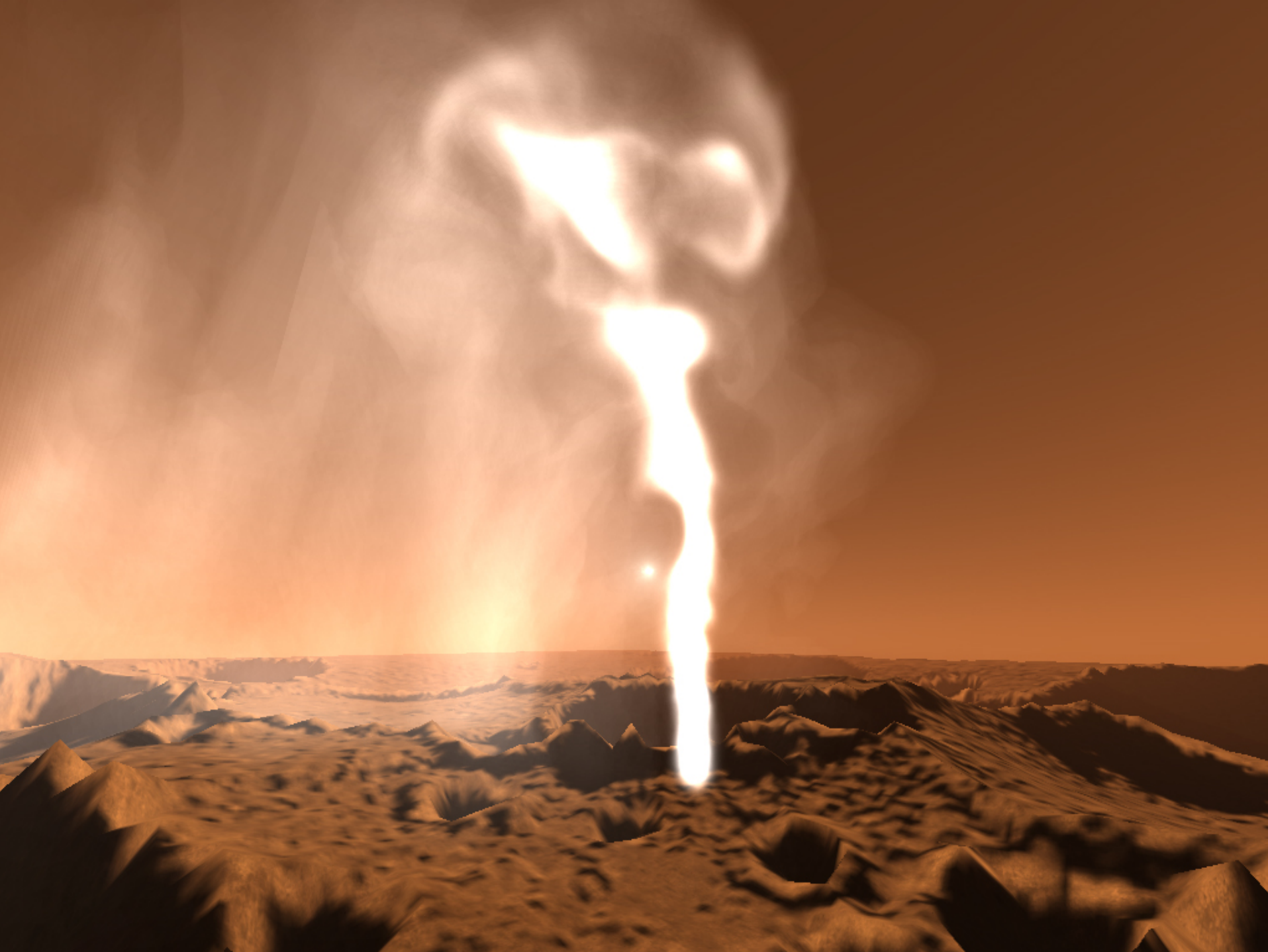


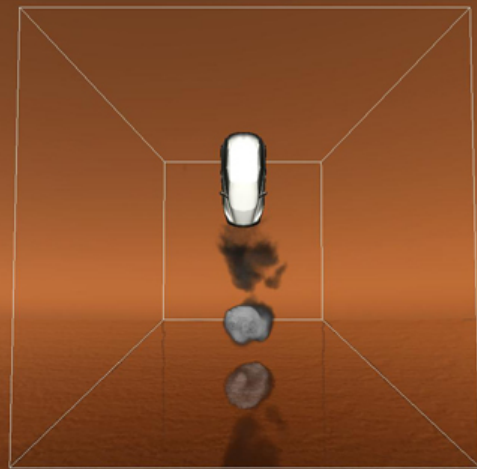
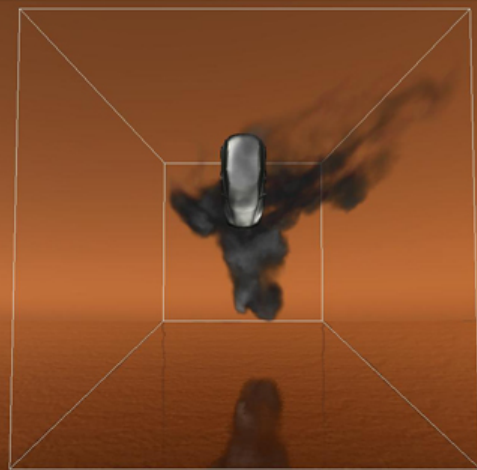
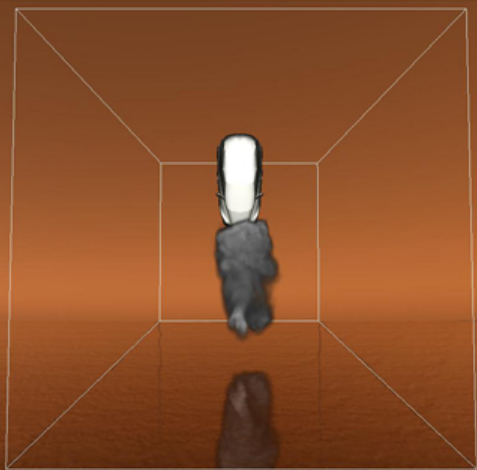
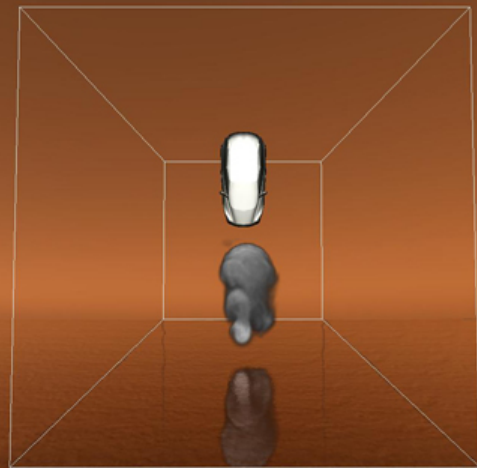
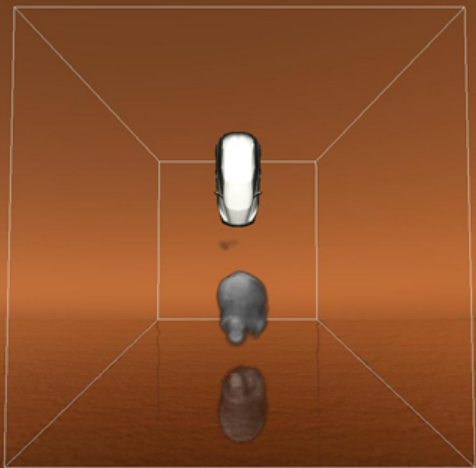
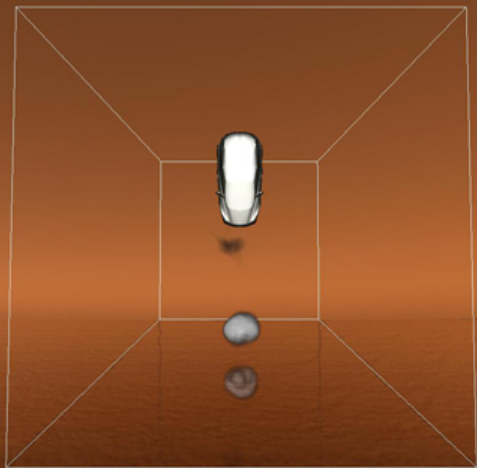
Ergebnisse

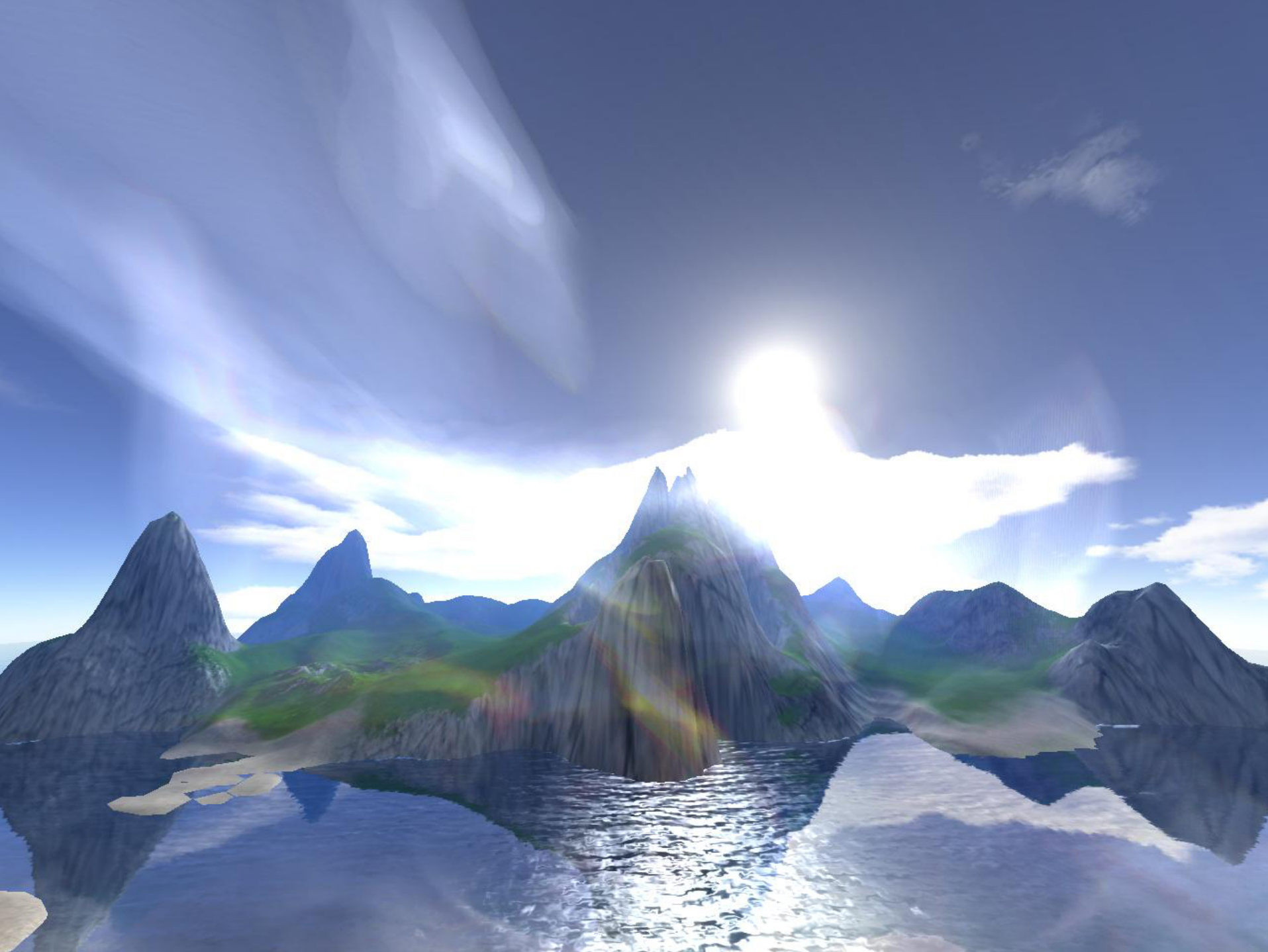


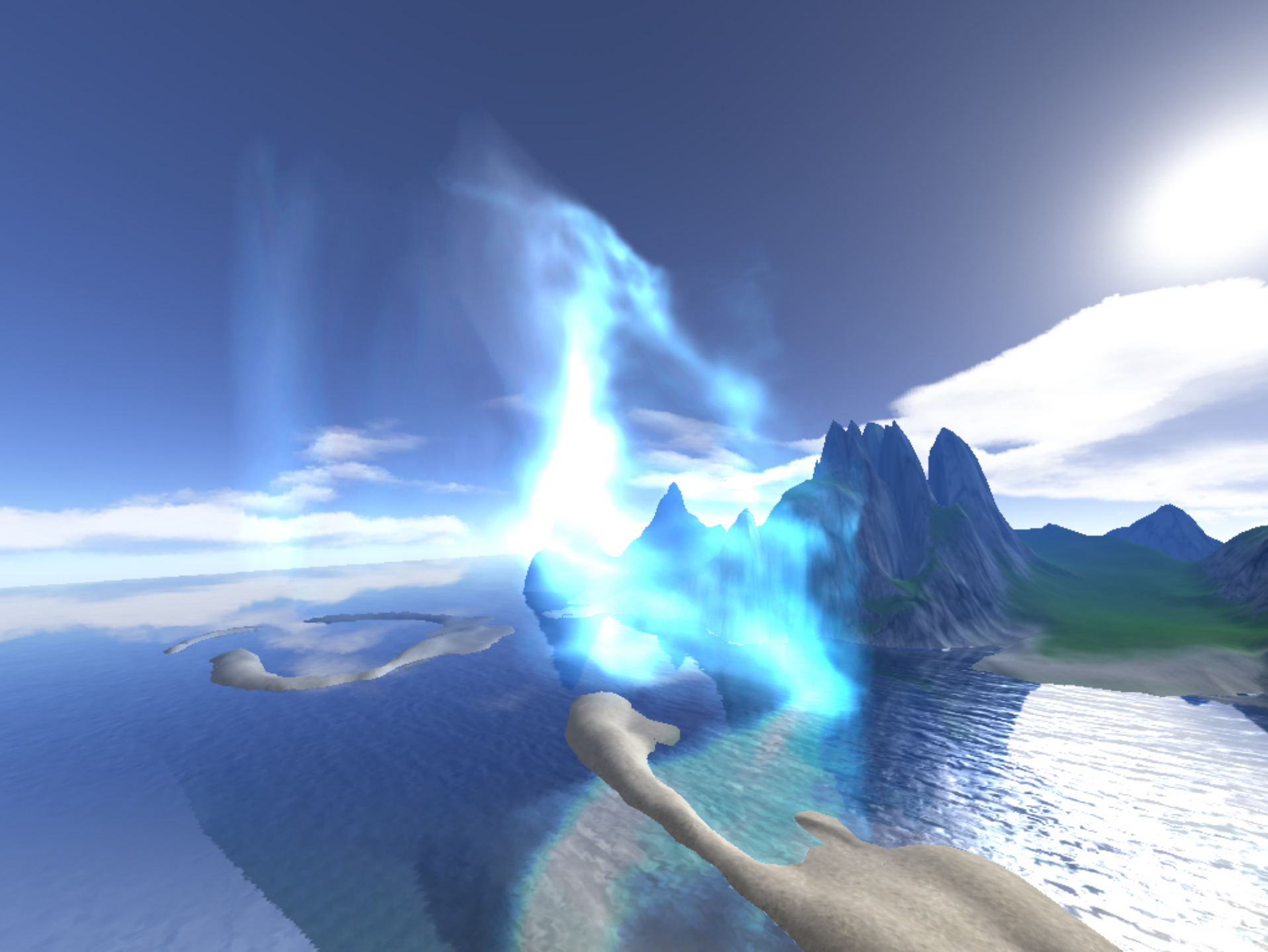


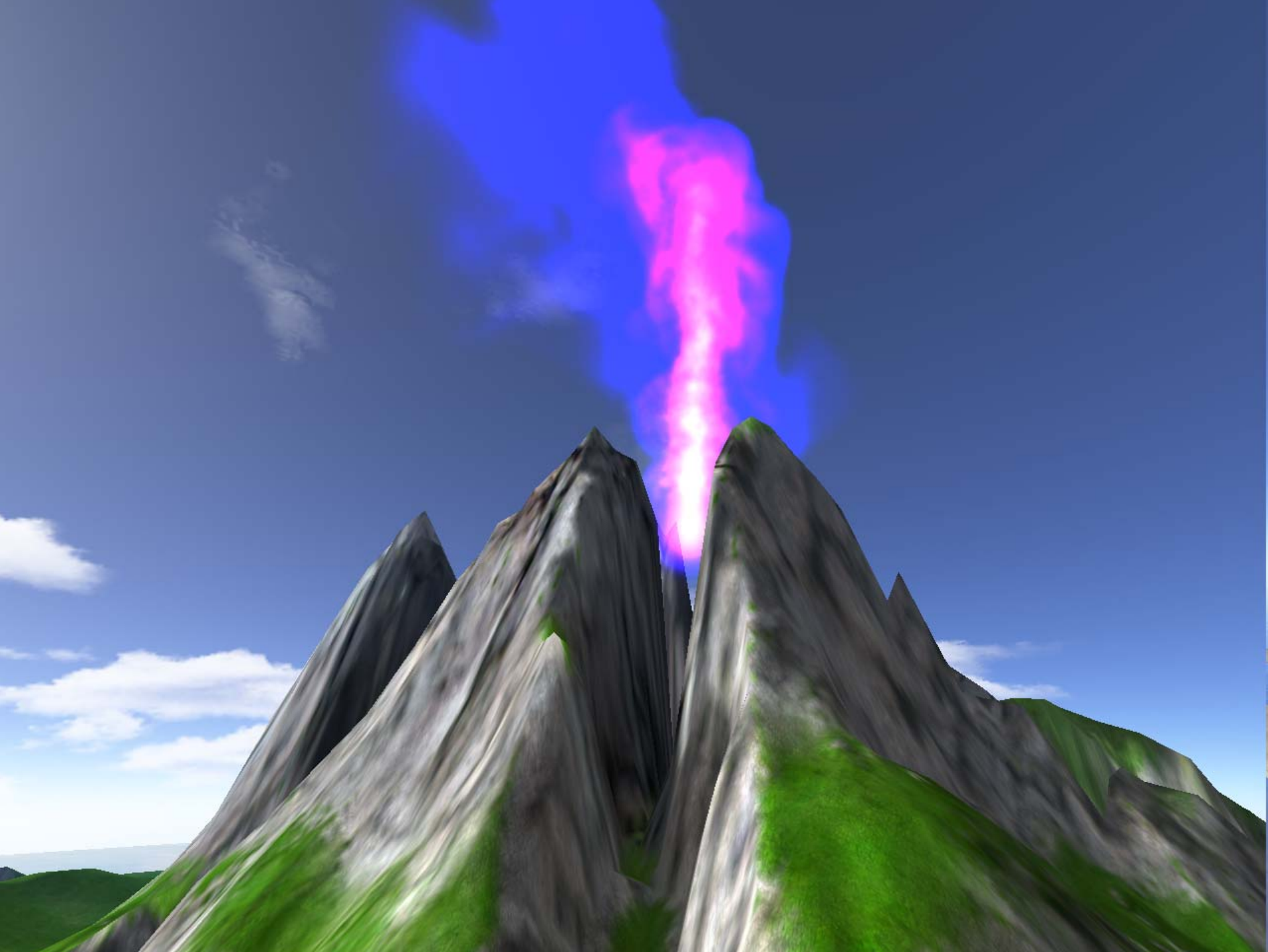


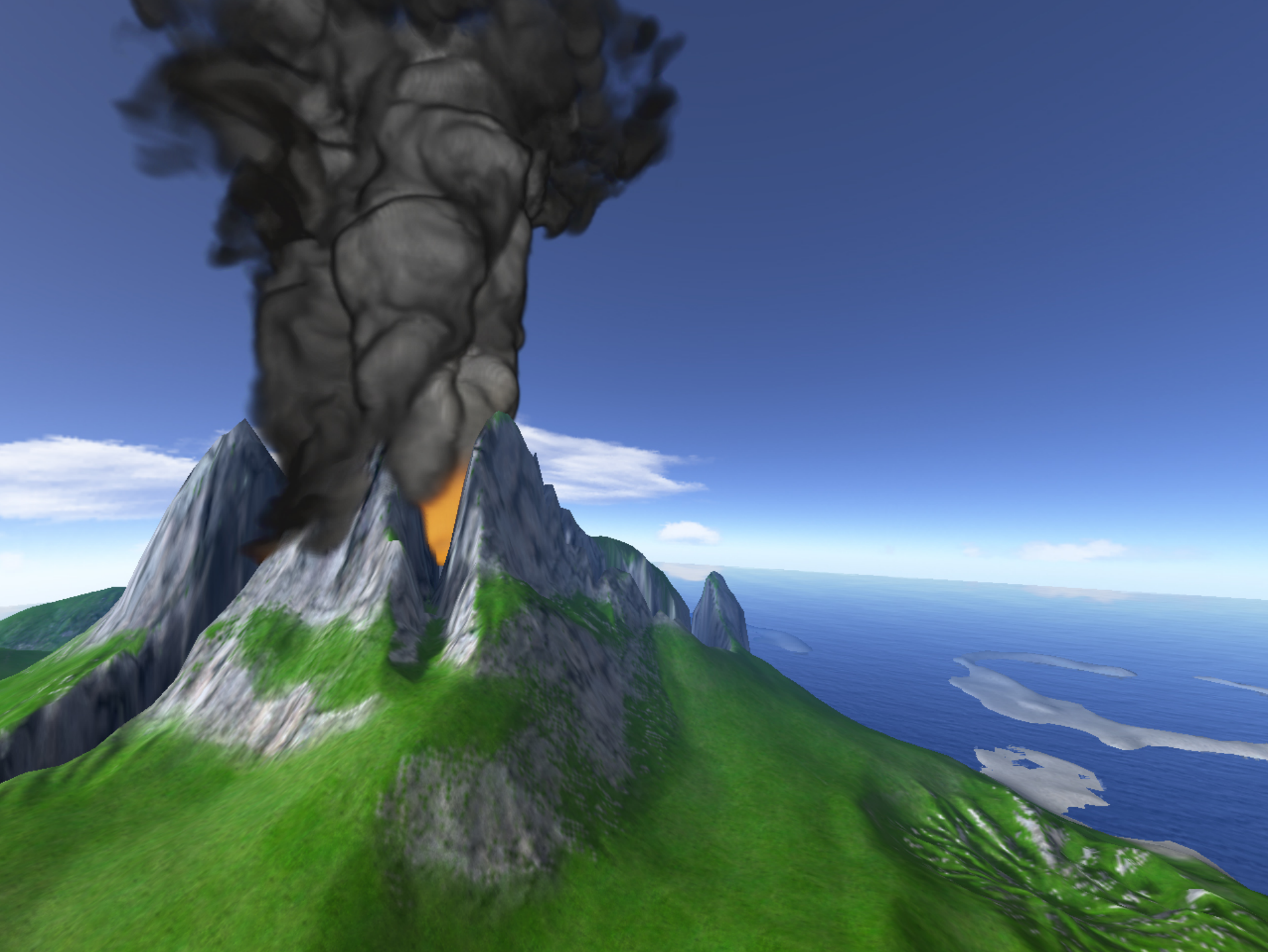


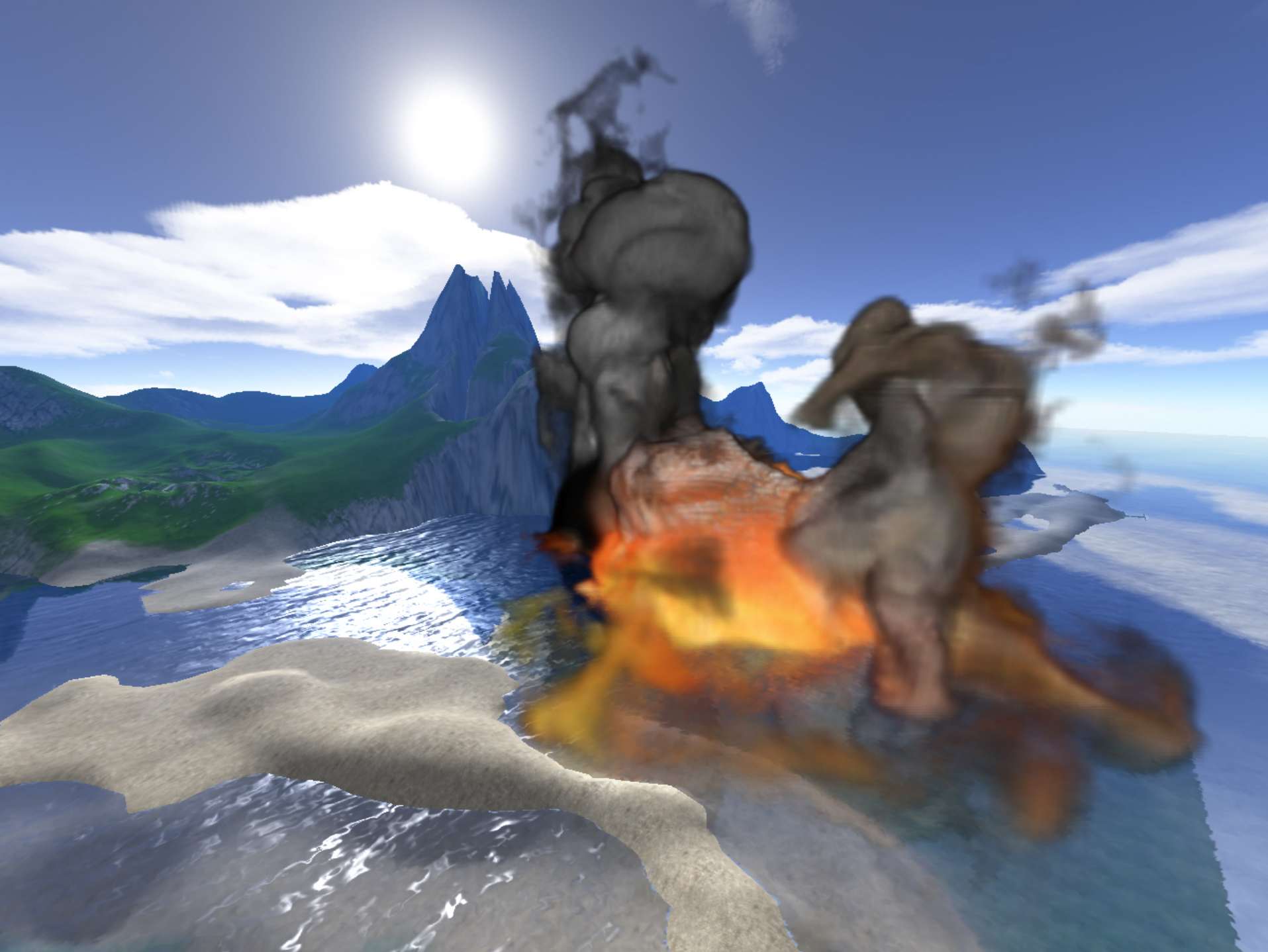




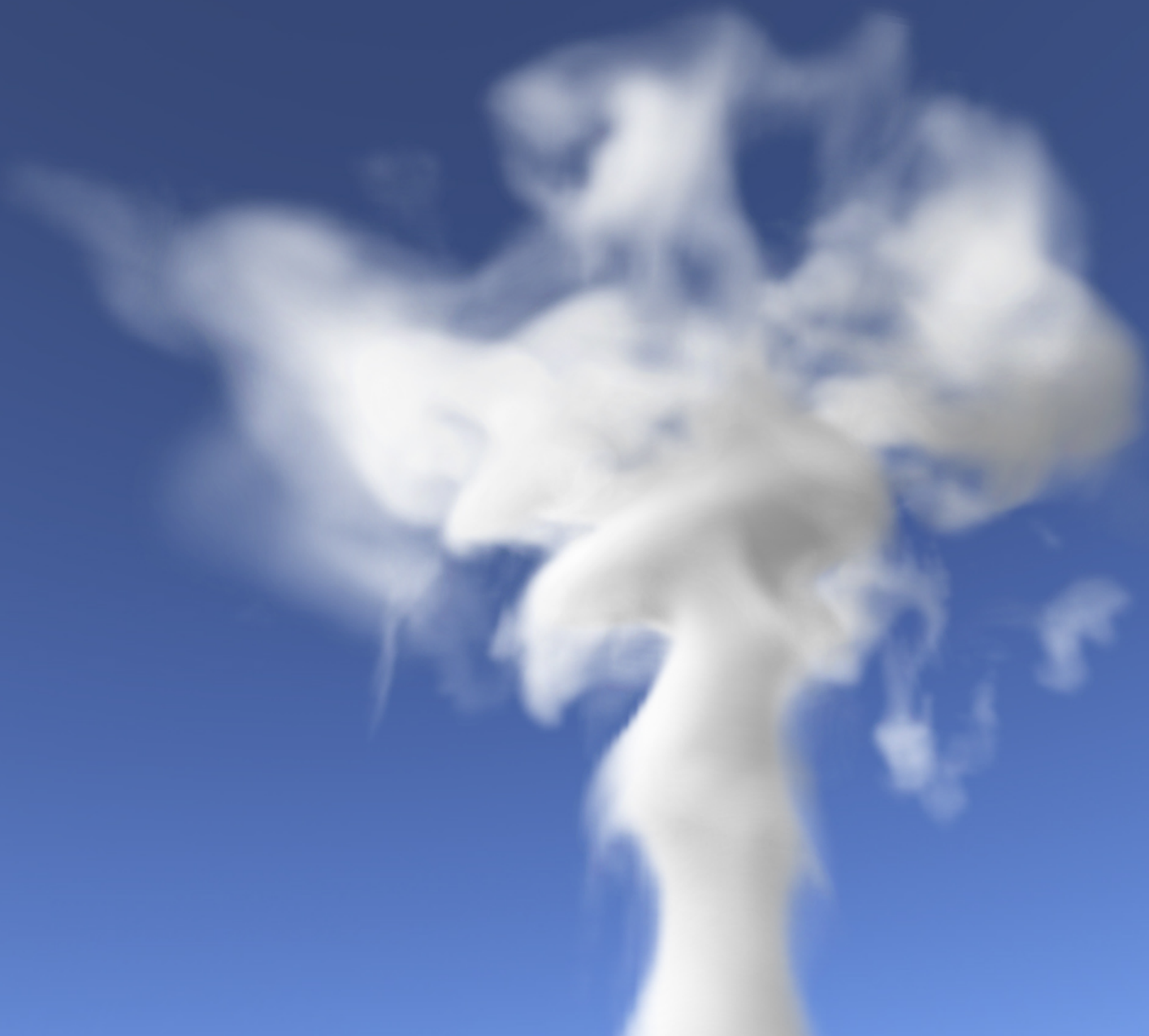


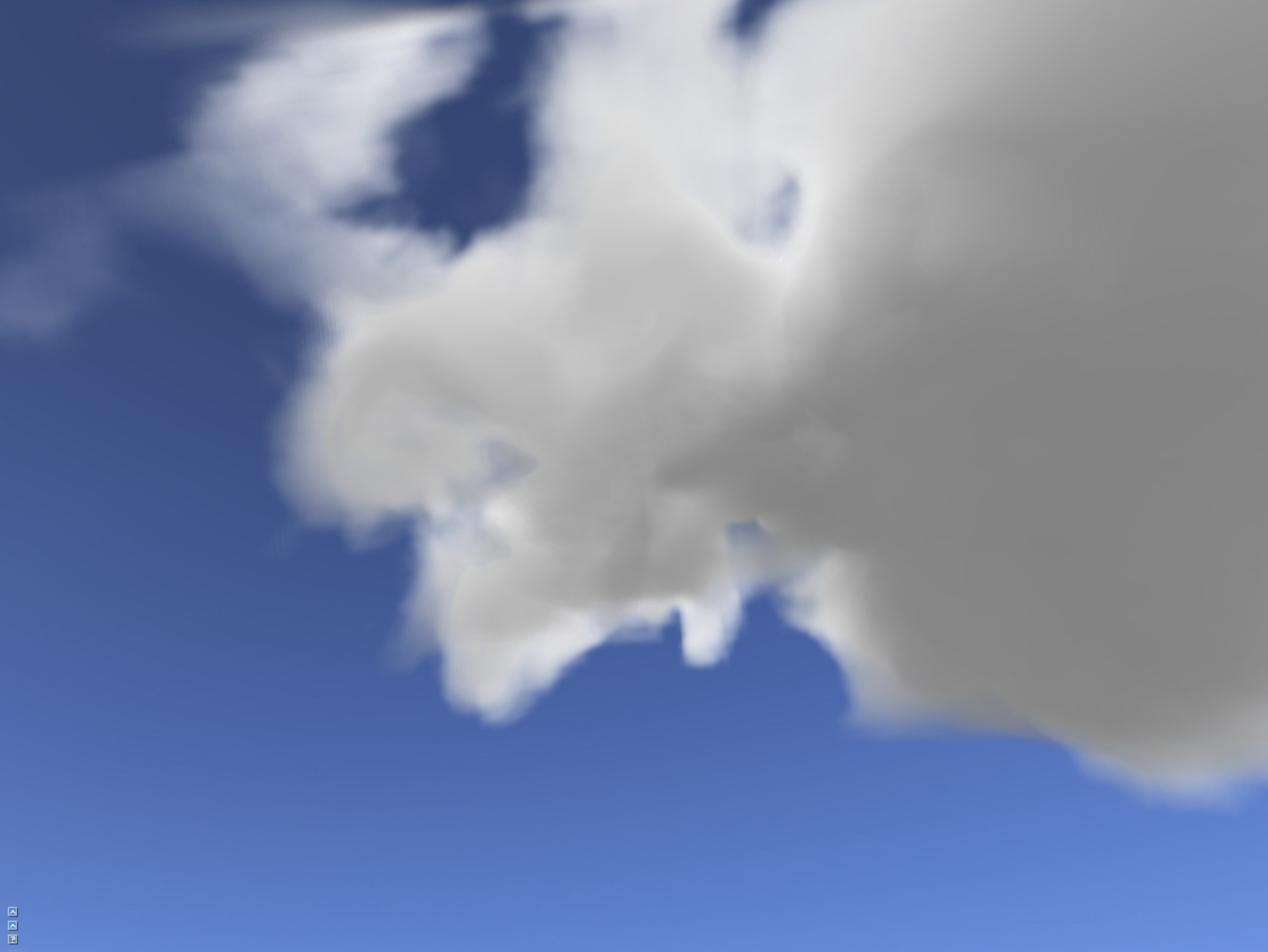






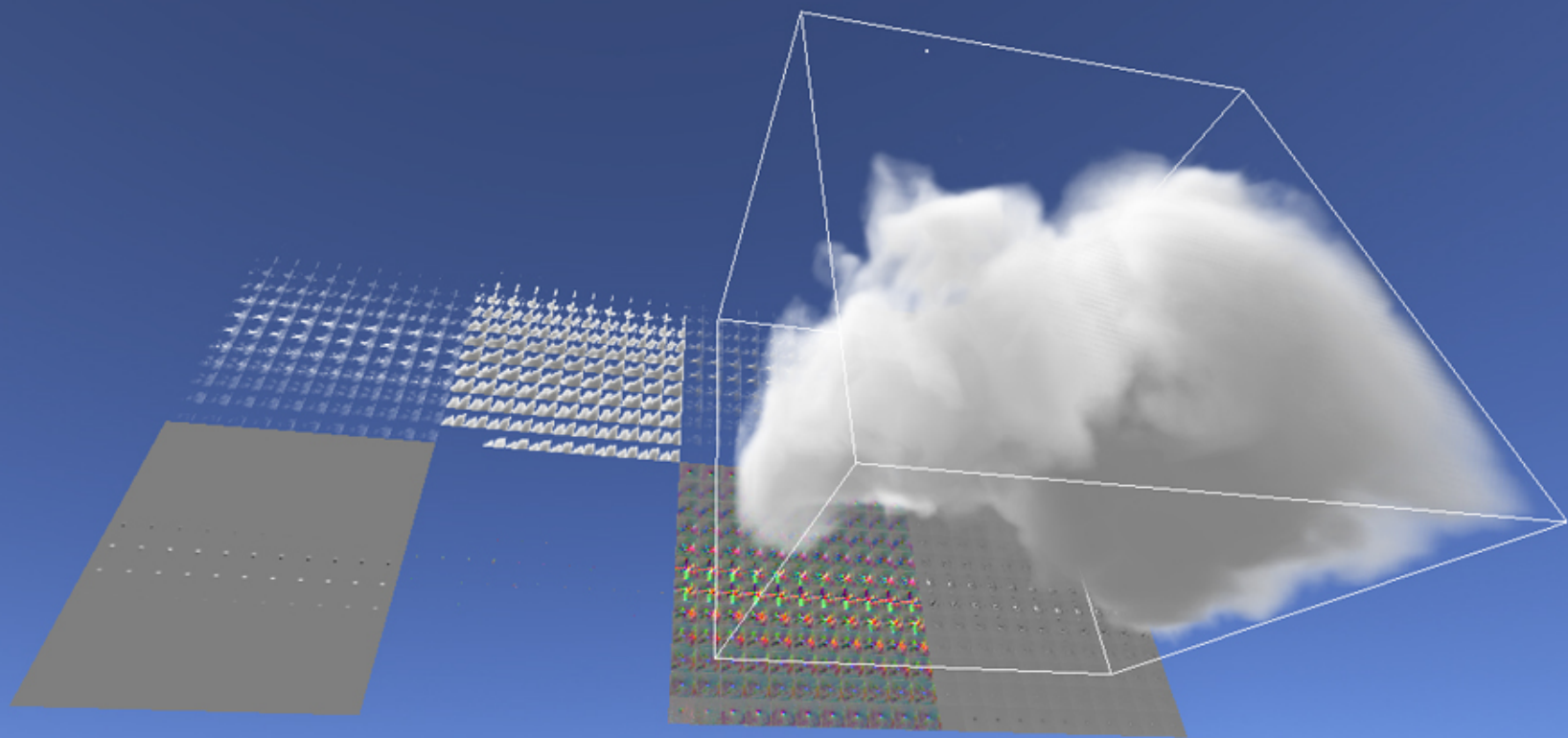








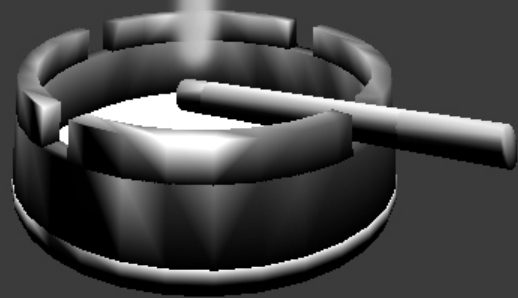




3Dfluid TweakBar

info text ON
Info text ON

```
FPS: 21  
show info text (1): 1  
models: 1  
cam_pos x: 460  
cam_pos y: 171  
cam_pos z: 567  
  
fluid_pos X: 354  
fluid_pos Y: 25  
fluid_pos Z: 243  
fluid_resolution X: 96  
fluid_resolution Y: 96  
fluid_resolution Z: 96  
fluid_scale 0: 300  
fluid_scale 1: 300  
fluid_scale 2: 300  
  
debug textures (1): 0  
alpha blending mode (0): 1  
obstacle detection (0): 1  
draw obstacles (1): 1  
temperature (1): 1  
illumination (1): 1  
  
velocity (0): 10.11  
viscosity (0): 1.0  
time_step (0): 0.17  
solver (0): 1.0_320  
render slices (1): 200  
  
move objects (CENTER): 0  
move obj (CENTER): 0  
  
ambient temp (1): 0.1  
max temp (1): 100  
min temp (1): 0  
temp scale (1): 1  
temp offset (1): 0  
  
source 00 (0): 1  
source 01 (0): 0  
source 02 (0): 0  
source 03 (0): 0  
source 04 (0): 0  
source 05 (0): 0  
source 06 (0): 0  
  
F1 toggled, move source0: 0  
F2 toggled, move source1: 0  
F3 toggled, move source2: 0  
F4 toggled, move source3: 0  
F5 toggled, move source4: 0  
F6 toggled, move source5: 0  
F7 toggled, move object: 0  
F8 toggled, move fluid: 0  
  
save config in newconfig.cfg (0)
```

Quellen

- [1] Harris, Mark J.: Real-Time Cloud Simulation and Rendering, University of North Carolina at Chapel Hill, Diss., 2003
- [2] Fizimayer, Robert: A Real-Time Cloud Animation and Illumination Method, Technische Universität Wien.
- [3] Müller, Matthias; Charypar, David; Gross, Markus: Particle-based fluid simulation for interactive applications. In: SCA `03: Proceedings of the 2003 ACM SIGGRAPH/Eurographics symposium on Computer animation, 2003
- [4] Fedkiw, Ronald; Stam, Jos; Wann Jensen Henrik: Visual Simulation of Smoke. In: Proceedings of ACM SIGGRAPH 2001, 2001
- [5] Willkomm, Dennis: Visuelle Effekte mit volumetrischen Shadern – Studienarbeit an der Universität Koblenz-Landau
- [6] Tariq, Sarah; Llamas, Ignacio: Real-Time Volumetric Smoke using D3D10. Proceedings of the Game Developer Conference 2007, März 2007. – Nvidia Developer Technology
- [7] GSC Game World: S.T.A.L.K.E.R.: Clear Sky. Version: 2008. - S.T.A.L.K.E.R.: Clear Sky HD DirectX10 Feature Demo Video. URL: <http://stalker.deepsilver.com>



Fragen...

